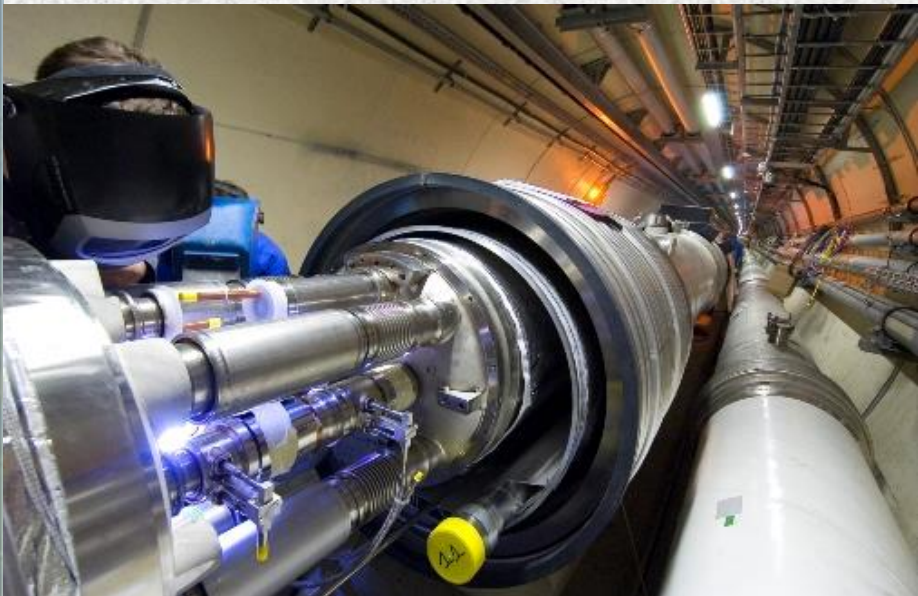


# Úvod do urýchlovačov

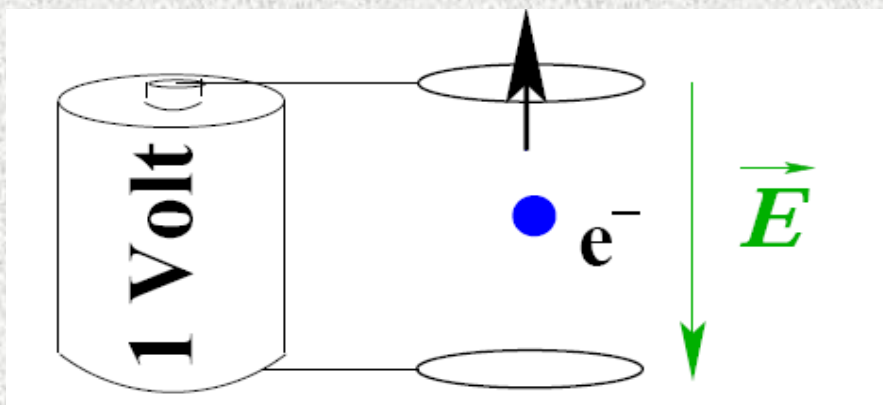
**Karel Šafařík (CERN)**

**s použitím materiálov od  
O.Brüning, E.Wildner...**

# Úvod do urýchlovačov



# Jednotky – elektrónvolt



Elektrónvolt, jednotka energie, označovaná ako eV, sa používá pre malé energie:

1 eV je definovaný ako energia dodaná časticí s nábojom jeden elektrón (t.j. okolo  $1.602 \cdot 10^{-19}$  C) elektrickým polom s rozdielom potenciálov 1 Volt:

$$1 \text{ eV} = 1.602 \cdot 10^{-19} \text{ joule}$$

**Úrýchlovanie**

Vo fyzike častíc jednotka eV sa používá taktiež ako jednotka hmotnosti, protože hmotnosť a energia sú úzko spojené Einsteinovým vzťahom:

$$E = mc^2$$

**Celková energia**

kde m je hmotnosť častice a c je rýchlosť svetla vo vákuu

**Hmotnosť elektrónu je okolo 0.5 MeV**

# Relativita

Ked' sú častice urýchelné ne velkú energiu, ich rýchlosť  
 $v$  sa pribluzuje rýchlosťi svetla vo vákuu  $c$

musíme zobrať do úvahy relativistické efekty

$$\gamma = 1/\sqrt{1 - \beta^2}; \quad \beta = v/c$$

$$\gamma = E/m \quad \beta = p/E \quad \gamma\beta = p/m$$

# Prečo urýchlovače? Prečo stále vyššia energia?

- ◆ častice – vlny (de Broglie)
- ◆ Rozlišovacia schopnosť je daná vlnou dlžkou

$$\lambda = h / p \quad (h - \text{Planckova konšanta})$$

(napríklad elektrónový mikroskop má lepšie rozlíšenie než svetelný pre ktorý  $\lambda \sim \text{few } 10^2 \text{ nm} \leftrightarrow \text{less than } 1\text{eV}$ )

- ◆ 200 MeV  $\leftrightarrow$  1 fm ( $10^{-13} \text{ cm}$ )
- ◆ 1 GeV  $\leftrightarrow$  0.2 fm
- ◆ 100 GeV  $\leftrightarrow 2 \times 10^{-16} \text{ cm}$  (LEP)
- ◆ 10 TeV  $\leftrightarrow 2 \times 10^{-18} \text{ cm}$  (LHC)

# Čo urýchlovať?

## ◆ elektróny – pozitróny

- velmi dobré na objavy nových (neutrálnych) častíc
- najjednoduchšia interpretácia výsledkov

## ◆ protóny (anti-protóny)

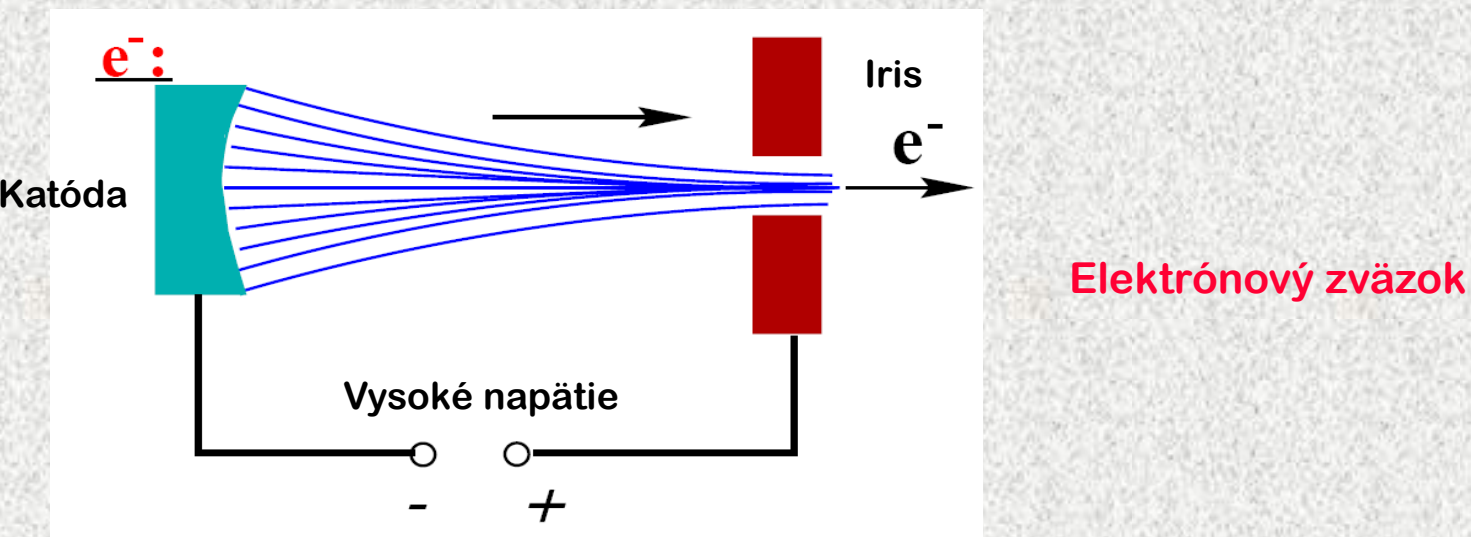
- tiež objavy nových častíc, ale energia “elementárnych” zrážajúcich sa objektov nie je fixovaná
- štruktúra hadrónov

## ◆ t'ažké ióny (až po Pb)

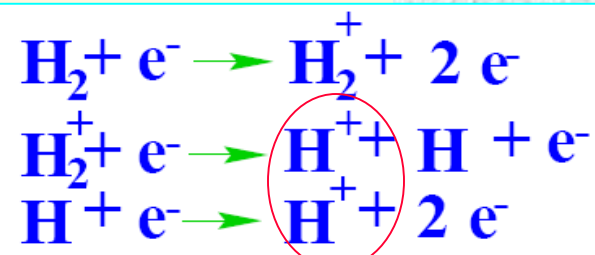
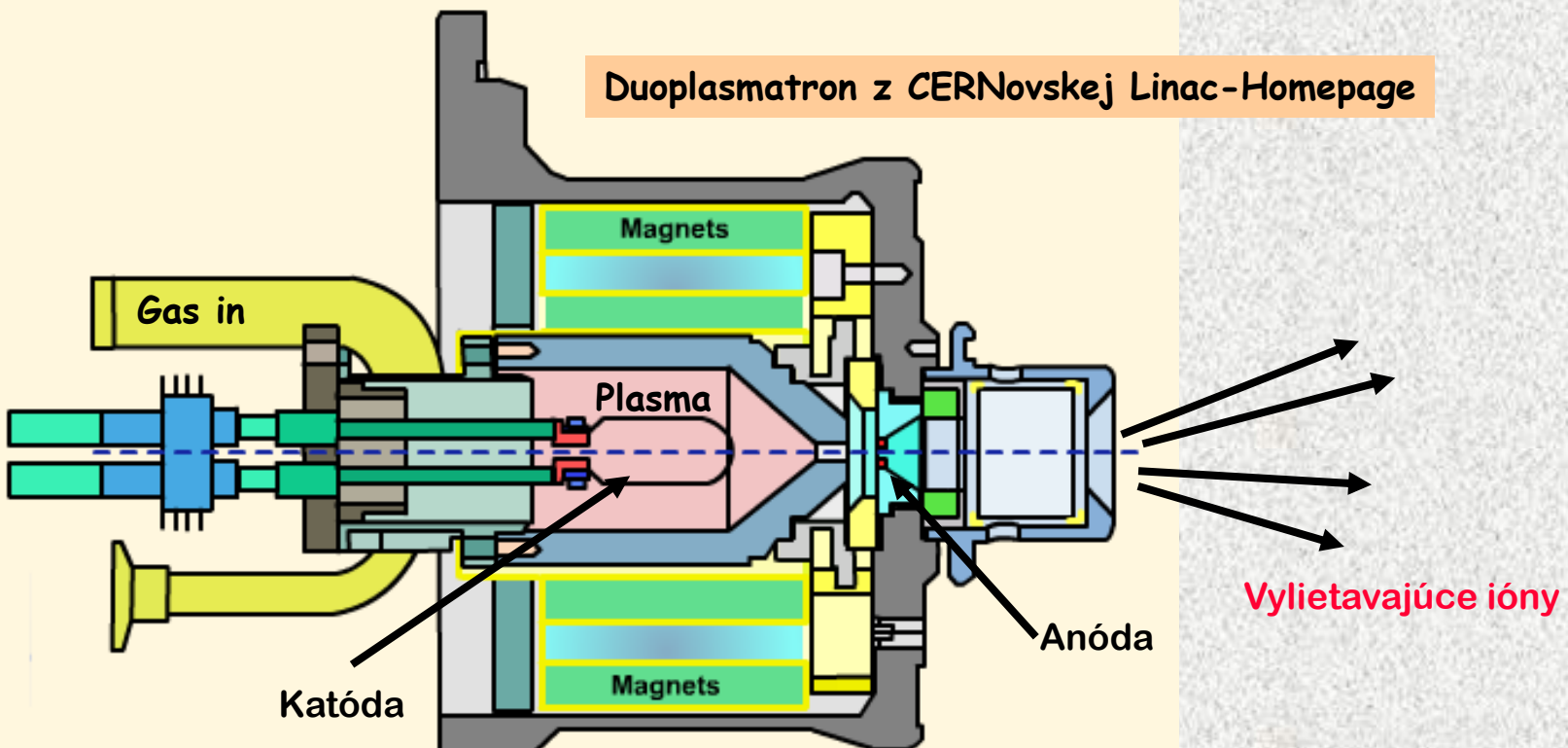
- vysokoteplotná QCD, fázové prechody
- nahrievanie vákua

## Najjednoduchší zdroj – v podstate elektrónka

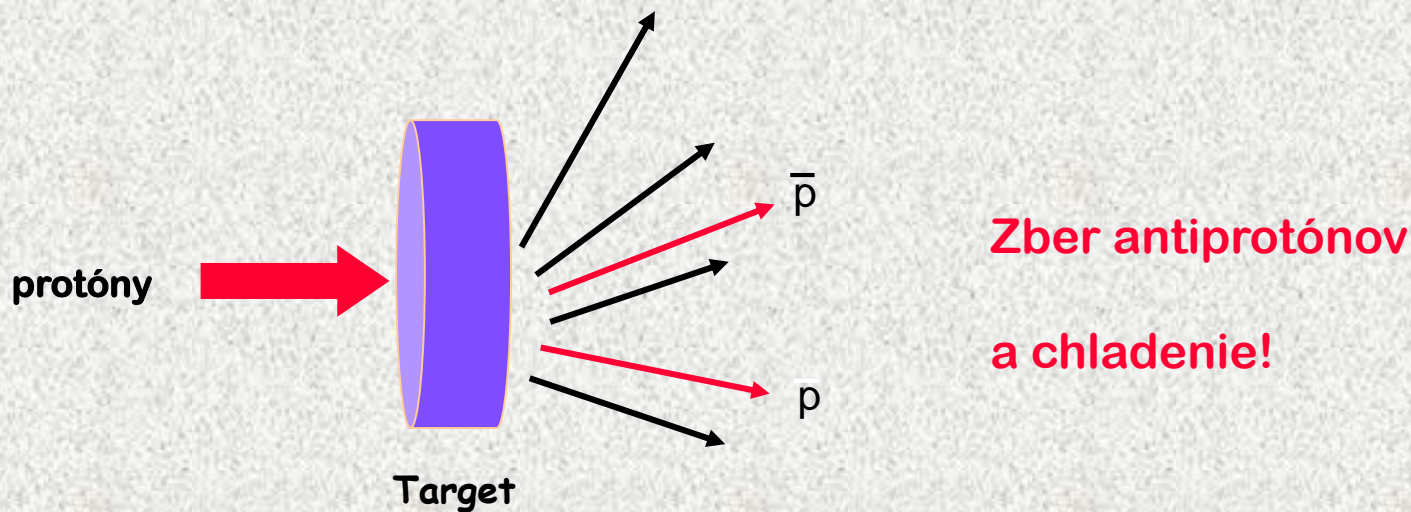
Obrazovka (starých) televízorov – typický elektrónový urýchlovač na  $\sim 10$  KeV



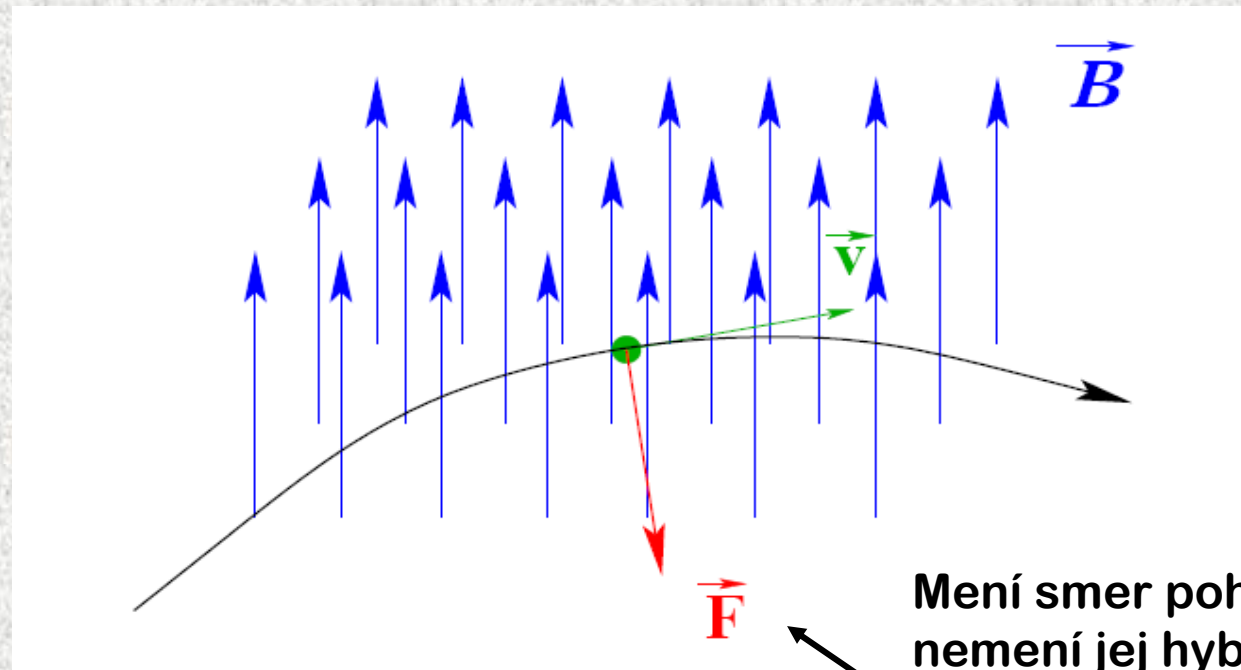
# Zdroje častíc: protóny



# Zdroje častíc: antiprotony



# Sily pôsobiace na nabité časticu



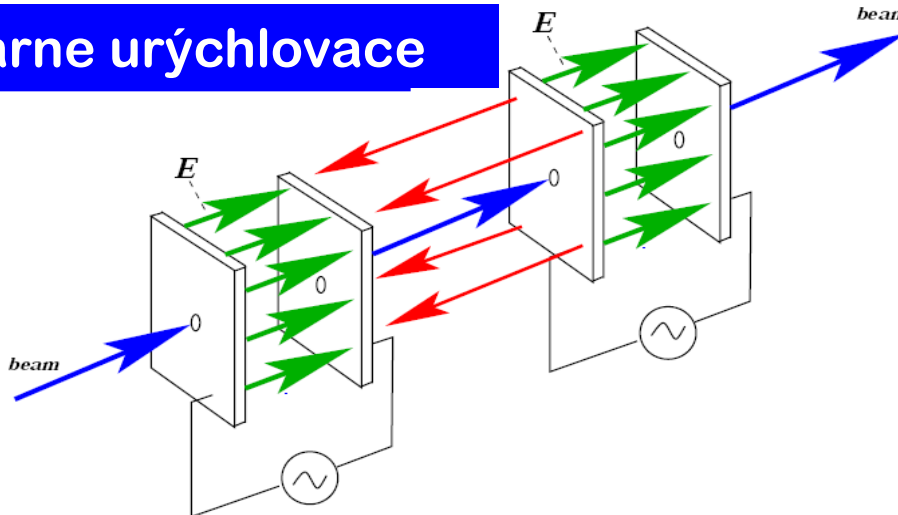
Lorentzova sila:

$$\frac{d\vec{p}}{dt} = Q * (\vec{E} + \vec{v} \times \vec{B})$$

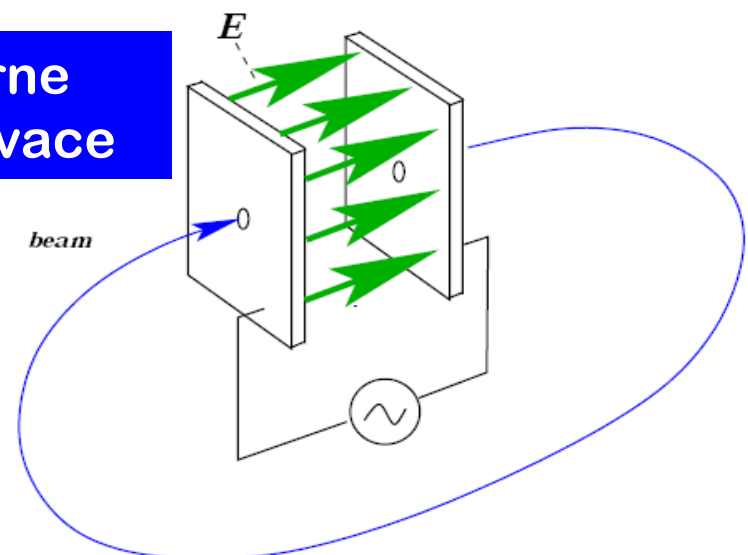
Urýchljuje častice !

# Princíp urýchlovania: časovo meniace sa elektrické pole

## Lineárne urýchlovace

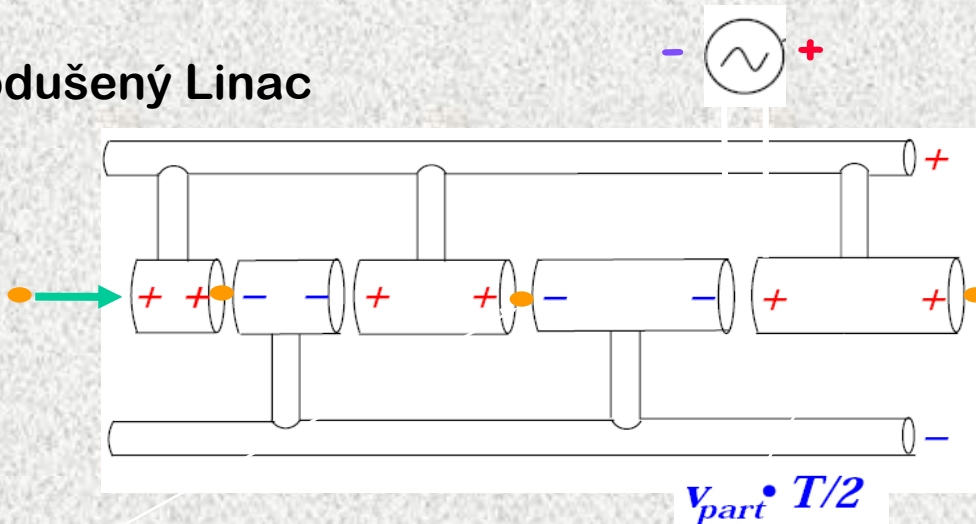


## Cirkulárne urýchlovace



# Lineárne urýchlovače

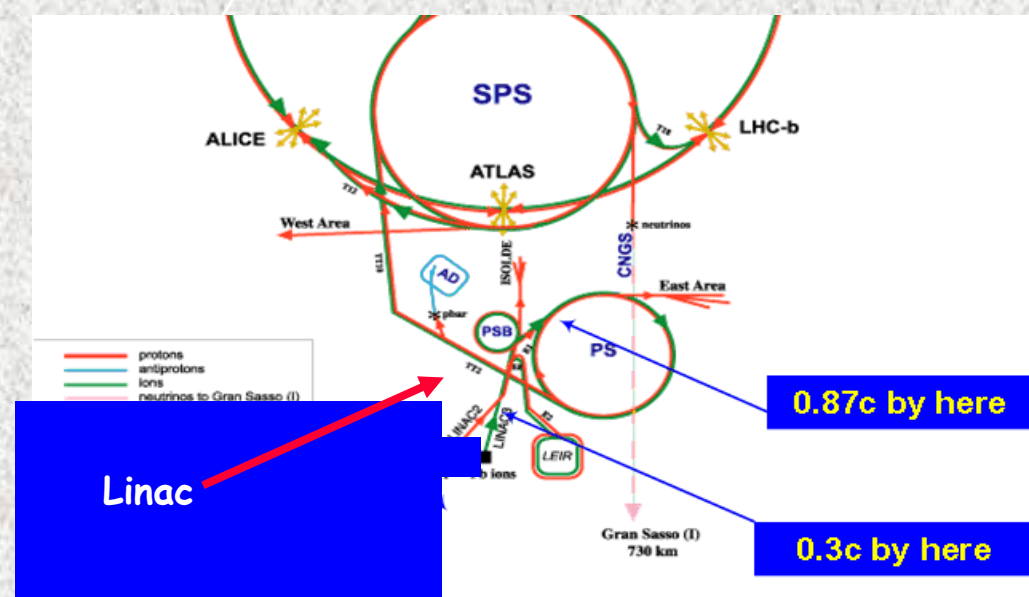
## Zjednodušený Linac



častice sa zgrupujú dokopy (klobásky), aby sme zaistili, že elektrické pole má správny smer v čase ked' klobáska prileti do danej "medzery"

Rýchlosť častic sa stále zvyšuje, preto dĺžka modulov sa zväčšuje tak, aby prílet častic bol synchronizovaný zo smerom elektrického pola v danej medzere

Alvarez: Resonance tank



# Cyklotrón

Dostredivá sila=-Odstredivej sile:

$$\frac{mv^2}{r} = Bqv$$

To isté, inak:

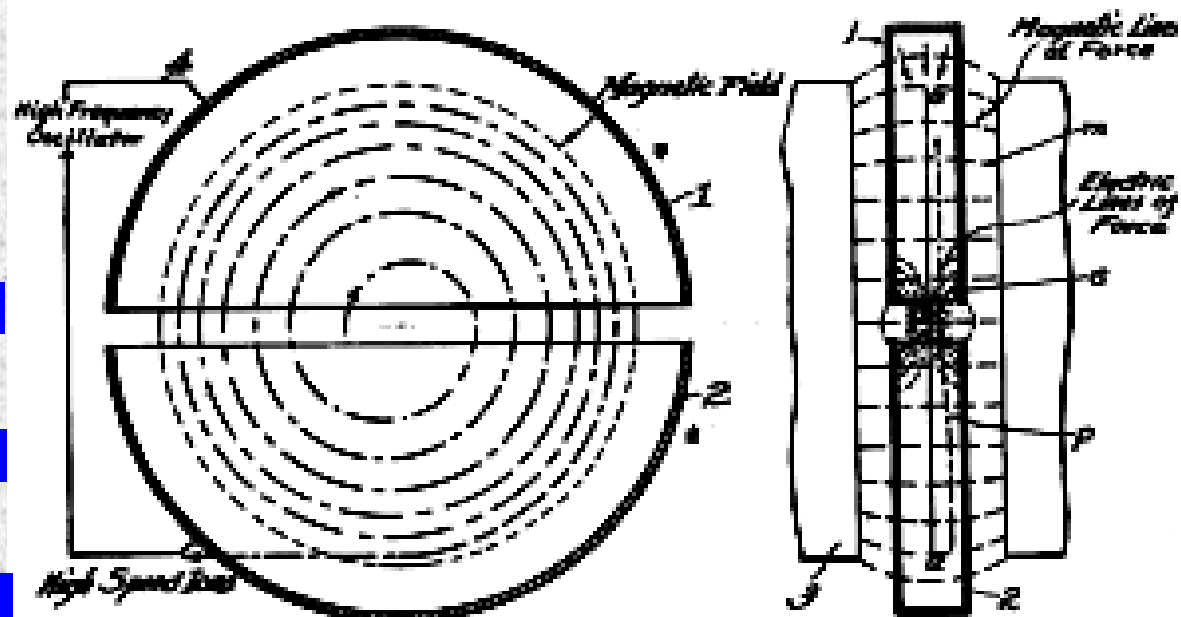
$$\frac{v}{r} = \frac{Bq}{m}$$

$$\omega = \frac{Bq}{m}$$

$$f = \frac{\omega}{2\pi}$$

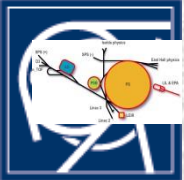
$$f = \frac{Bq}{2m\pi}$$

Kontinuálny tok castíc (nie klobásky)



Frekvencia nezávisí od polomeru, ale len v nerelatickej limite! Toto nie je pravda pri vysokých energiách ak prejdeme do relativistického režimu. Frekvencia sa musí meniť v závislosti na rýchlosť častíc: **synchrocyclotron**.

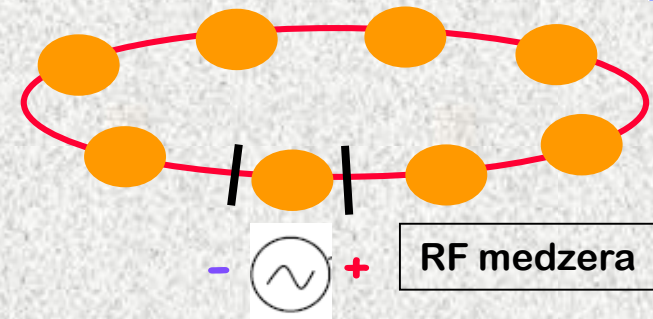




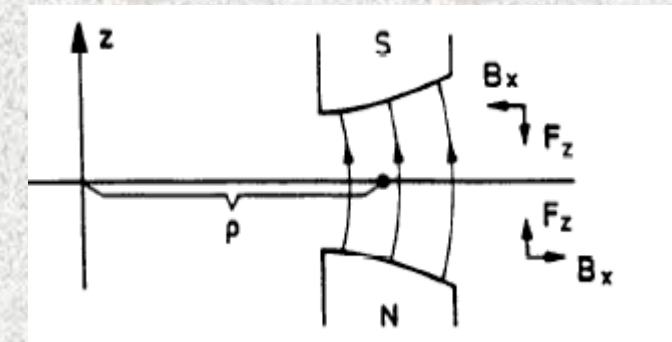
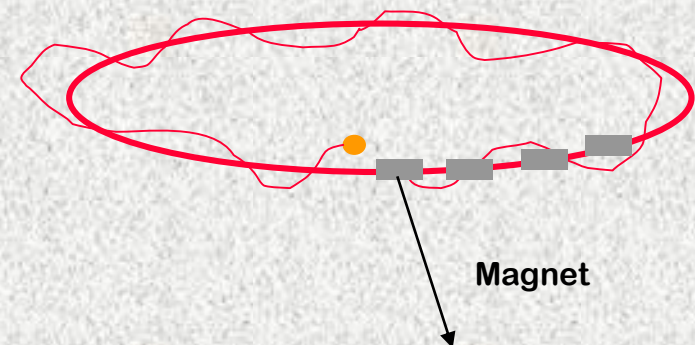
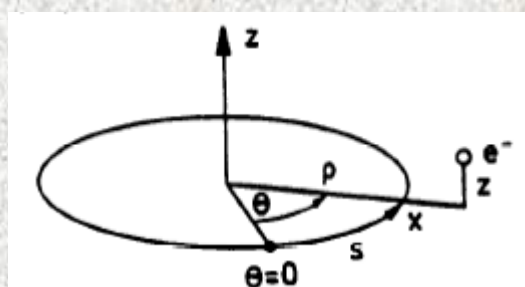
# Synchrotron



Skupiny častíc (klobásky) obiehajú synchrónne s radiofrkvenčným polom v urýchľovacej kavite



Každá častice obieha nedaleko ideálnej (teoretickej) orbity: aby toto fungovalo urýchlovanie a magnetické polia musia splniť kritéria stability



Dipolový magnet zatáča  
dráhu častic v horizontálnej  
rovine (vertikálne pole)

$$F_x = -ev_s B_y$$

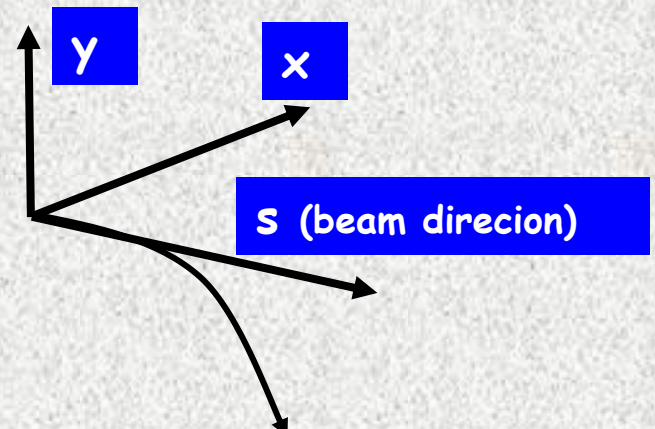
$$F_r = mv_s^2 / \rho$$

$$p = mv_s$$

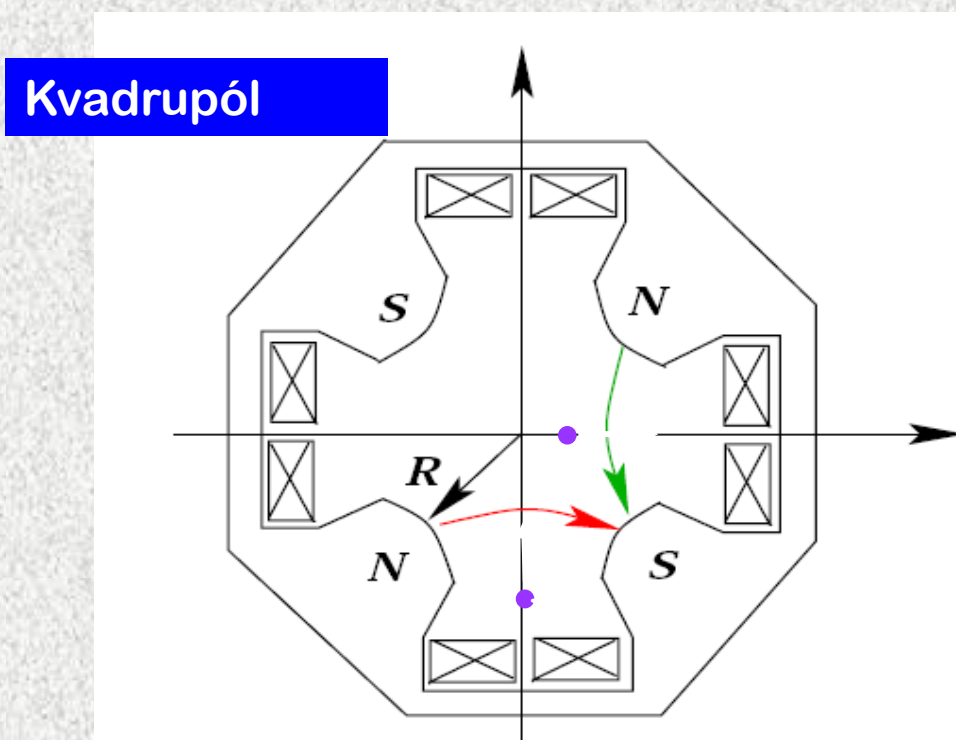
$$\frac{1}{\rho(x, y, s)} = \frac{e}{p} B_y(x, y, s)$$

$$B\rho = \frac{p}{e}$$

”Magnetická rigidita”



Castice musíme fokusovať, aby zostali v urýchľovaci  
Podobne ako v optickom systéme



Kladný náboj  
pohybujúci sa  
smerom k nám:  
Defokusuje sa v  
horizontálnej  
rovine,fokusuje sa  
vo vertikálnej  
rovine.

$$\frac{d\vec{p}}{dt} = Q \cdot (\vec{E} + \vec{v} \times \vec{B})$$

$$B_x = -g \cdot y$$

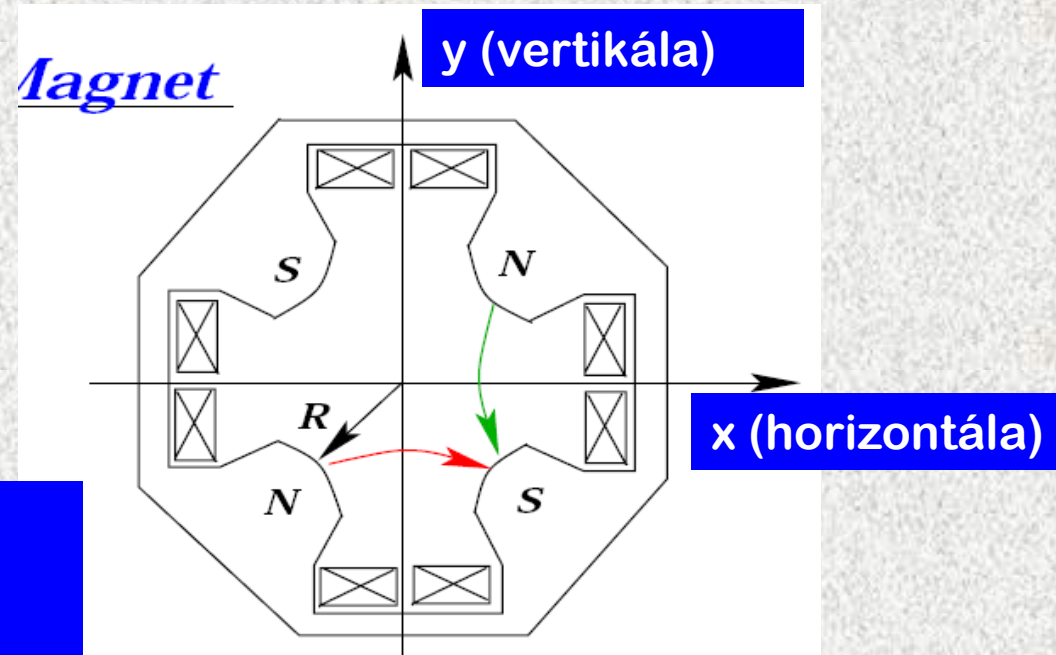
$$B_y = -g \cdot x$$

$$F_x = g \cdot x$$

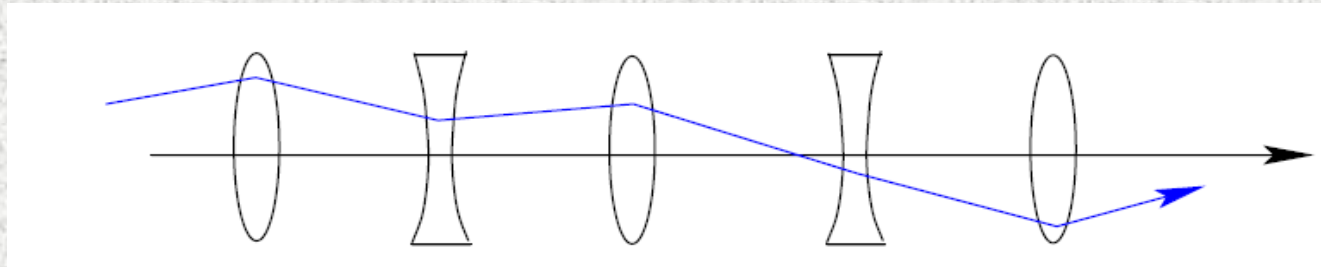
$$F_y = -g \cdot y$$

Sila je úmerná  
vzdialenosťi od stredu:

častice daleko od stredu  
magnetu sa zatáčajú  
viac, dostanú vačšiu  
korekciu



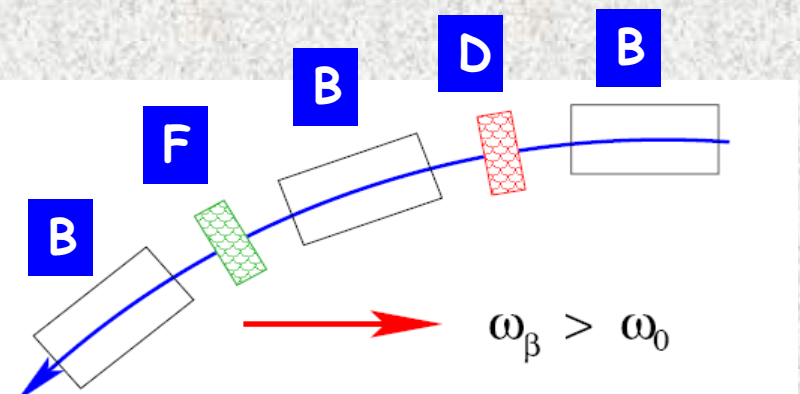
# Fokusujúci systém

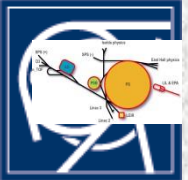


"Alternate gradient focusing" spravý celkový fokusujúci efekt (porovnajte napríklad s optickým systémom v kamerách)

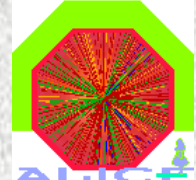
Zväzok potrebuje menej miesta vo vákuovej komore, amplitúdy sú menšie a pri rovnakom rozmere magnetov kvalita magnetického pola je lepšia (optimalizácia ceny)

Synchrotron: Magnety striedajú orientáciu kvadrupólového pola  
(F – fokusácia, D - defokusácia)  
(B – bending, zatocenie)

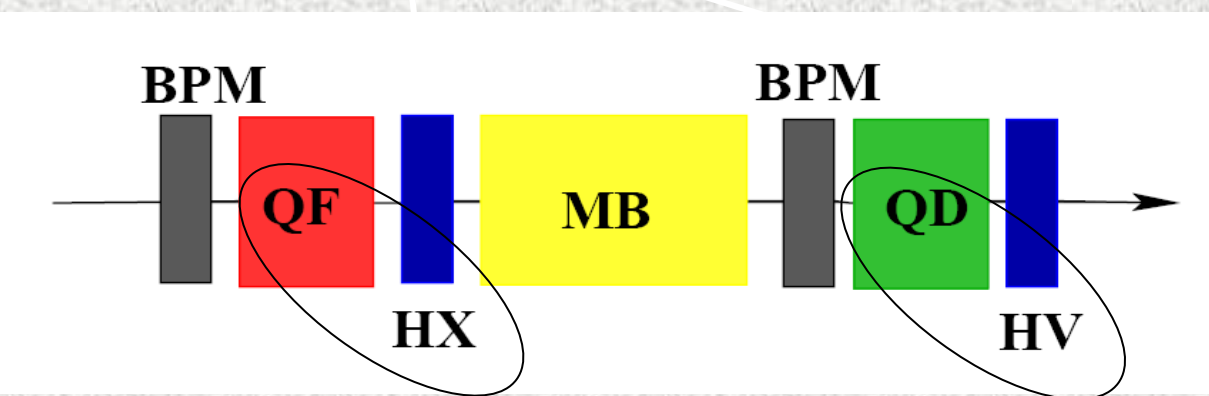




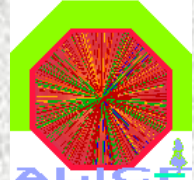
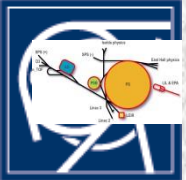
# Korektory



**Beam Position Monitors (monitory polohy zvazku)** merajú polohu zvazku v blízkosti kvadrupólu, zvazok má prechádzat' v prostriedku...  
**Malé dipolové magnety sa používajú na korekcie možných chýb v pozícii zvazku.**



Iné typy magnetov sa používajú na korekcie d'alsích chýb, napríklad ne-ideálnost' magnetických polí



# Možné chyby

**Typy chýb, ktoré môžu ovplyvniť urýchlovací proces a musia sa korigovať:**

**Pohyb povrchu Zeme**

**Vlaky...**

**Mesiac**

**Ročné obdobie**

**Konštrukčné práce**

**...**

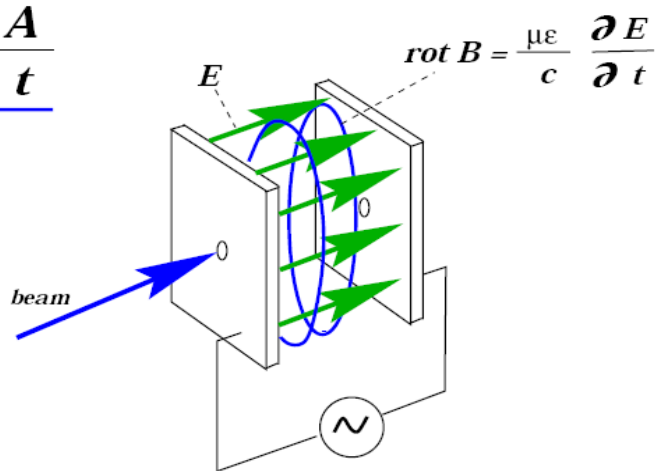
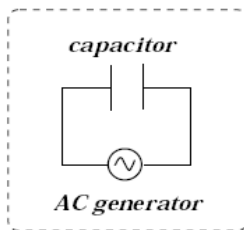
**Kalibrácia magnetov je veľmi dôležitá**

**Regulácia prúdu v magnetoch**

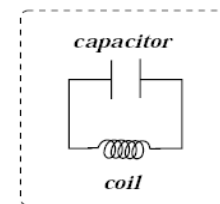
**...**

**Energia častíc musí zodpovedať hodnote pol'a v magnetoch, aby častice zostali na svojej orbite. Kontrola urýchlovania!**

●  $E = - \frac{1}{c} \frac{\partial A}{\partial t}$

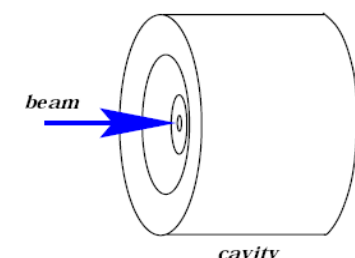
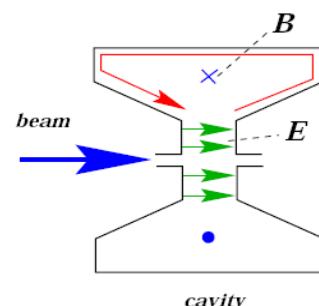


Rezonančný obvod  
Kavita pre urýchlovanie



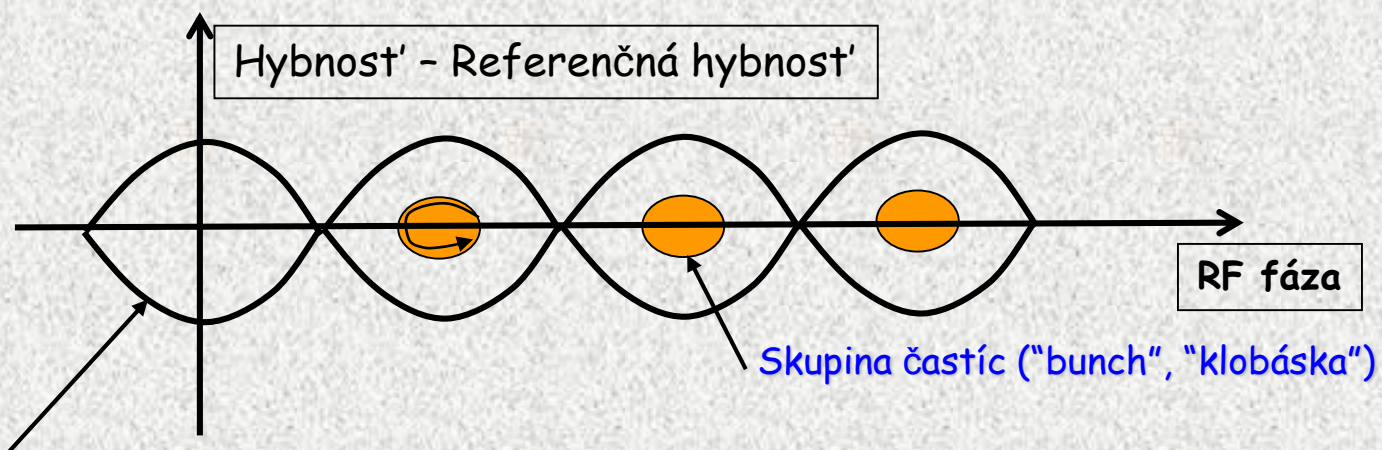
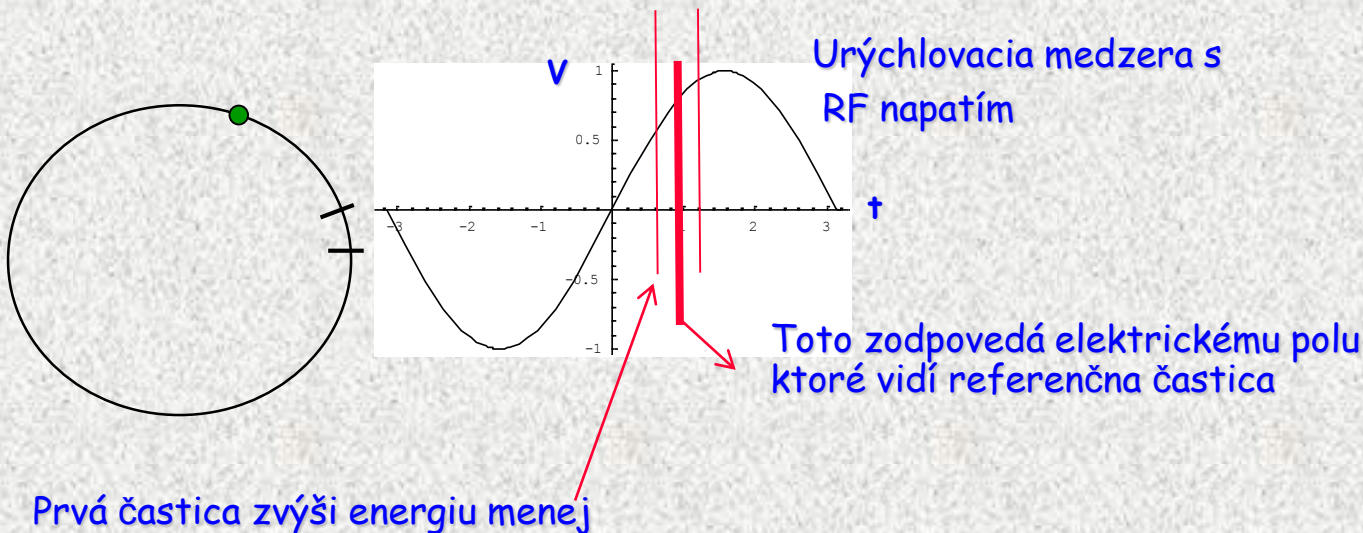
$$L = \frac{\mu_0 \cdot N^2 \cdot A}{I}$$

$$C = \frac{\varepsilon_0 \cdot A}{d}$$



$f; Q; R$

# Urýchlovanie v synchrotrone



"Bucket": Energeticko-fázová podmienka stability

# Experiments

Terčíkové:

Bombardovanie materiálu zvazkom vypusteným von z urýchlovača.

Bublinové komory

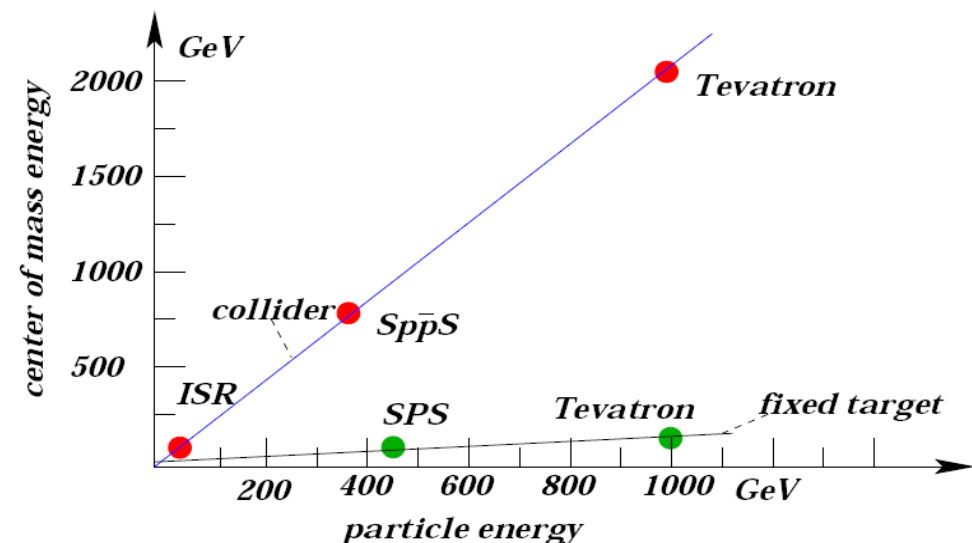
Použitelnú energiu treba počítať v t'ažiskovom systéme (t.j. zrážajúce sa objekty)

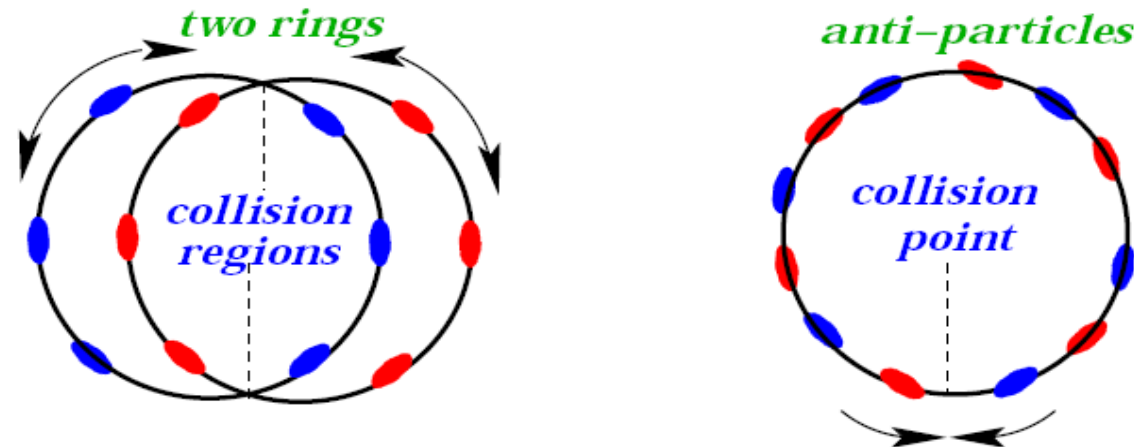
Zrážat' častice je oveľa výhodnejšie

1960: elektrón/pozitrónový zrážač

1970: protón antiprotónový zrážač

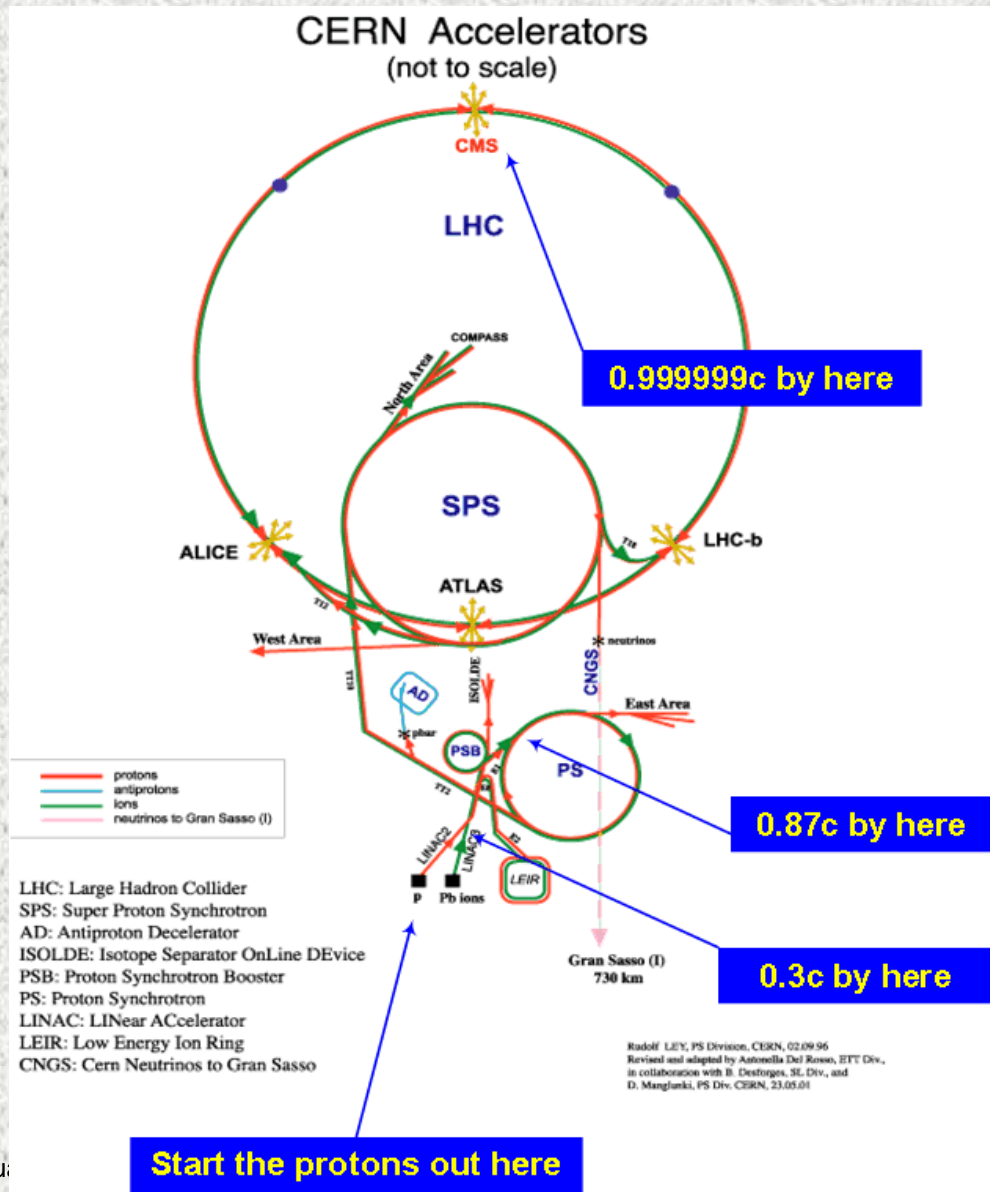
2000: ionový zrážač, Au (zlato)





- Všetky častice sa nezrázajú v tom istom čase -> je potrebný dlhý čas
- Potrebujeme dva zvazky
- Antičastice sú odlišné (a drahé) na výrobu (~1 antiproton potrebuje  $10^6$  protonov)
- Zvazky sa navzájom ovplyvňujú: zvazky musia byť separované ked' sa nezrázajú

# Urýchlovače v CERNe



Energie:

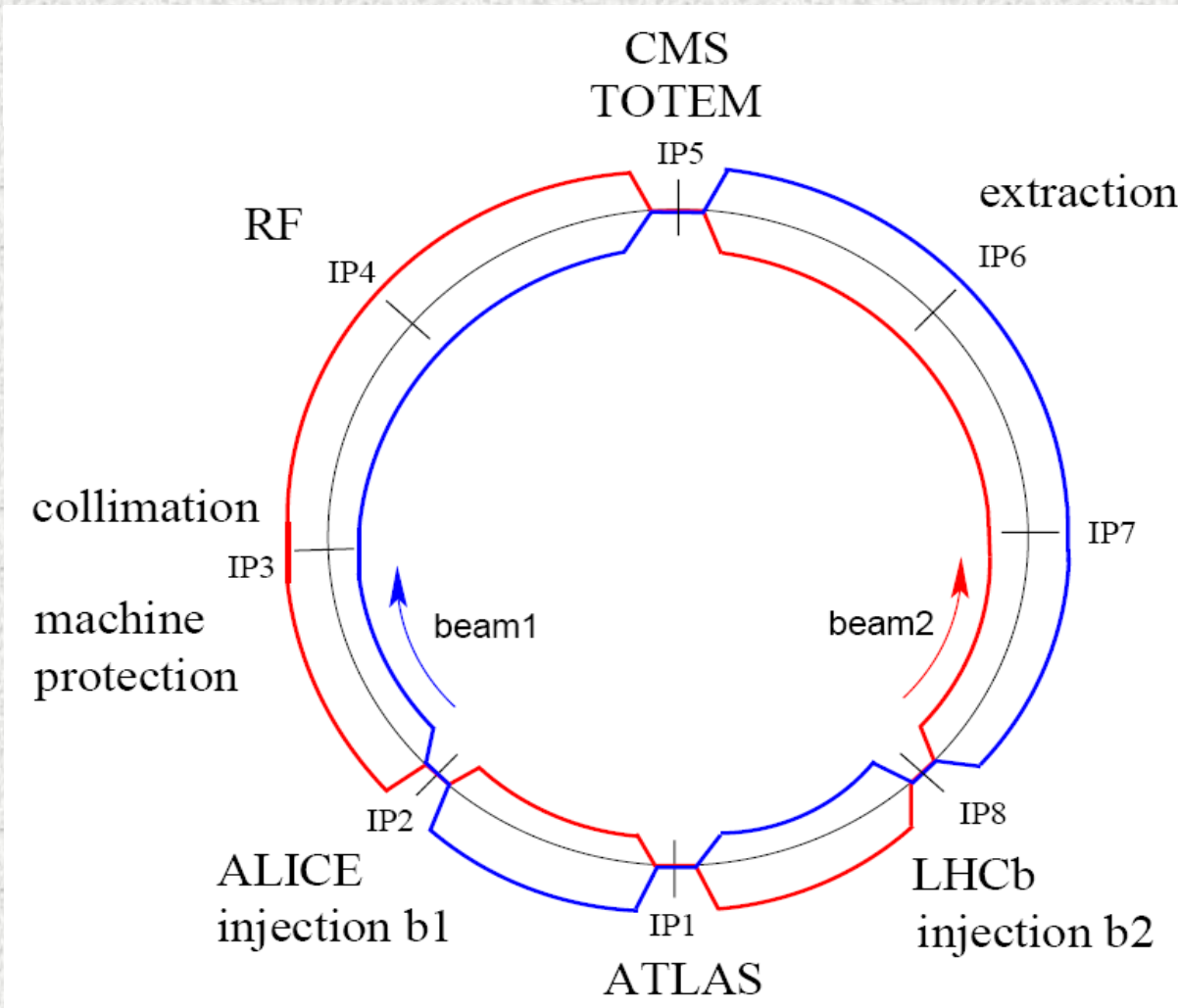
**Linac 50 MeV**

**PSB 1.4 GeV**

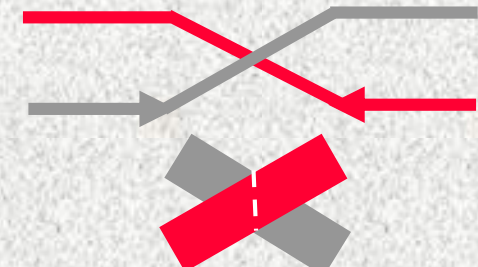
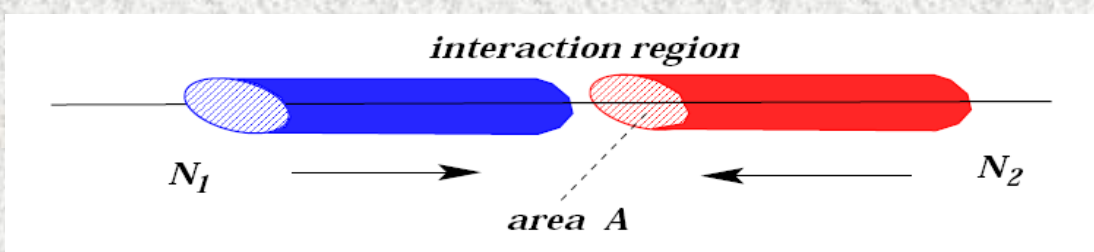
**PS 28 GeV**

**SPS 450 GeV**

**LHC 7 TeV**



# Luminozita



$$A = \pi \epsilon \beta^*$$

$$N_{ev}/sec = \sigma \cdot L$$

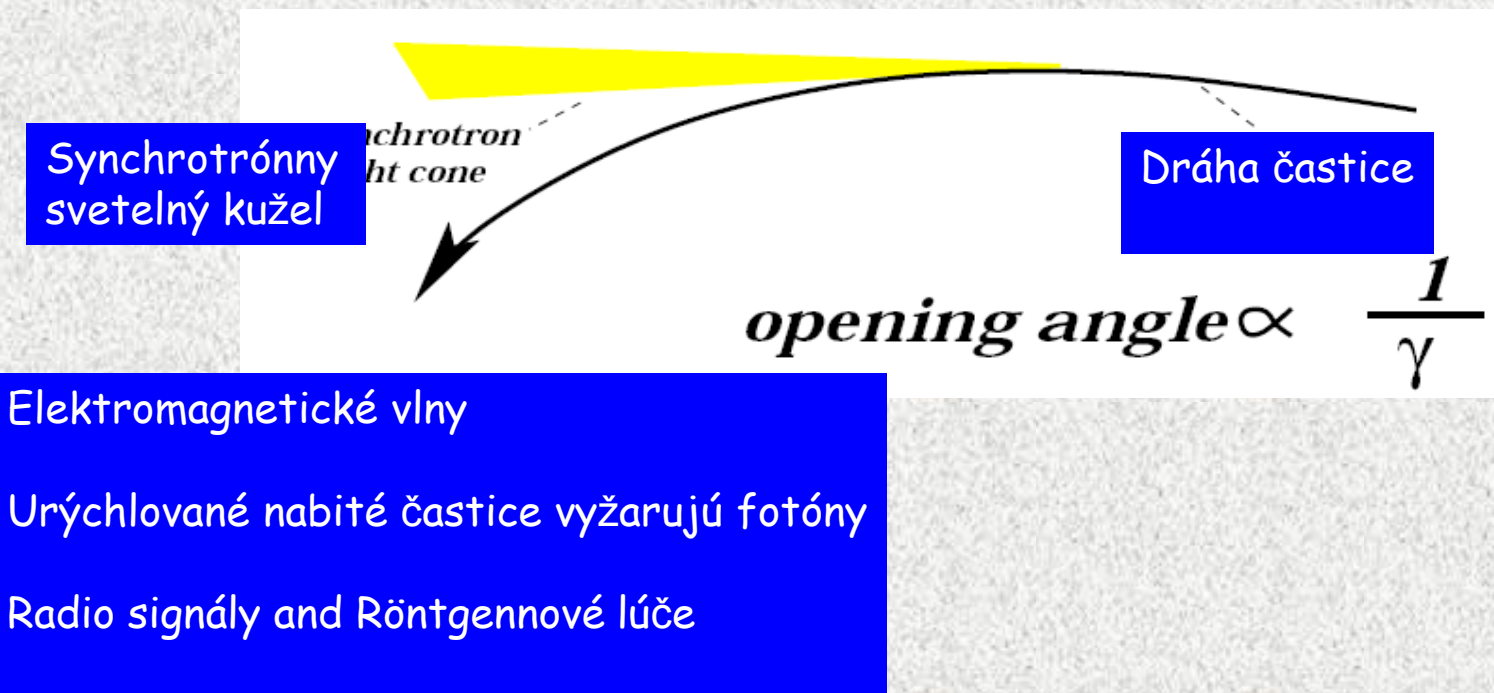
$$x(s) = \sqrt{\epsilon \beta_x}(s) \cos\left(\frac{2\pi}{L} Q \cdot s + \delta\right)$$

$$L = \frac{N_b^2 n_b f_{rev}}{4\pi \epsilon \beta^*} F$$

Annotations pointing to the variables:

- Počet častíc v bunchi (klobáske) (dva zvazky)
- Počet bunchov (klobások) vo zvazku
- Frekvencia otáčania
- Formfactor z uhla zvazkov
- Emitancia
- Optická beta funkcia

# Synchrotrónne žiarenie

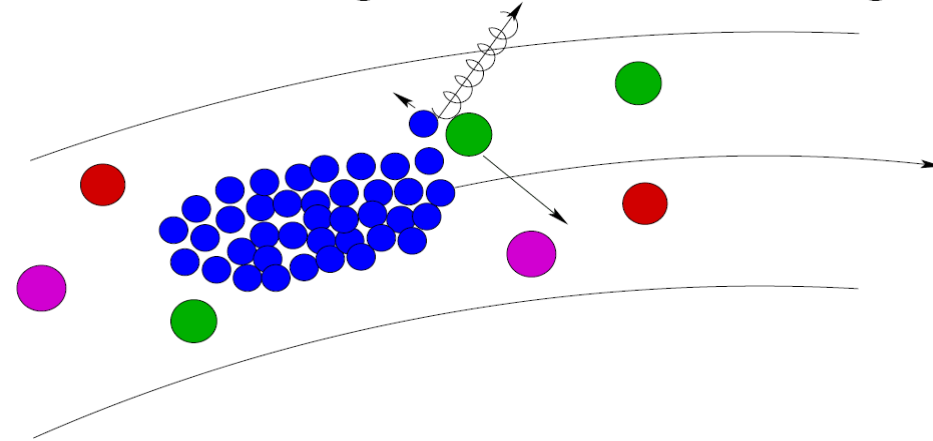


$$P \propto \frac{\gamma^4}{\rho^2}$$

$$E \propto \frac{\gamma^3}{\rho}$$

LEP:  $\gamma = 200000$   
 LHC:  $\gamma = 7000$

## Bremsstrahlung + Coulomb Scattering

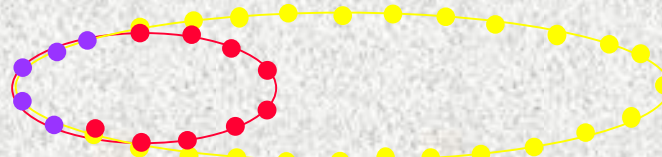


- "Nabupútanie" zvazku
- Straty častíc
- Nežiadúce zrážky v experimentoch
- Limituje luminozitu

# Supravodivost'

Prečo supravodivé magnety?

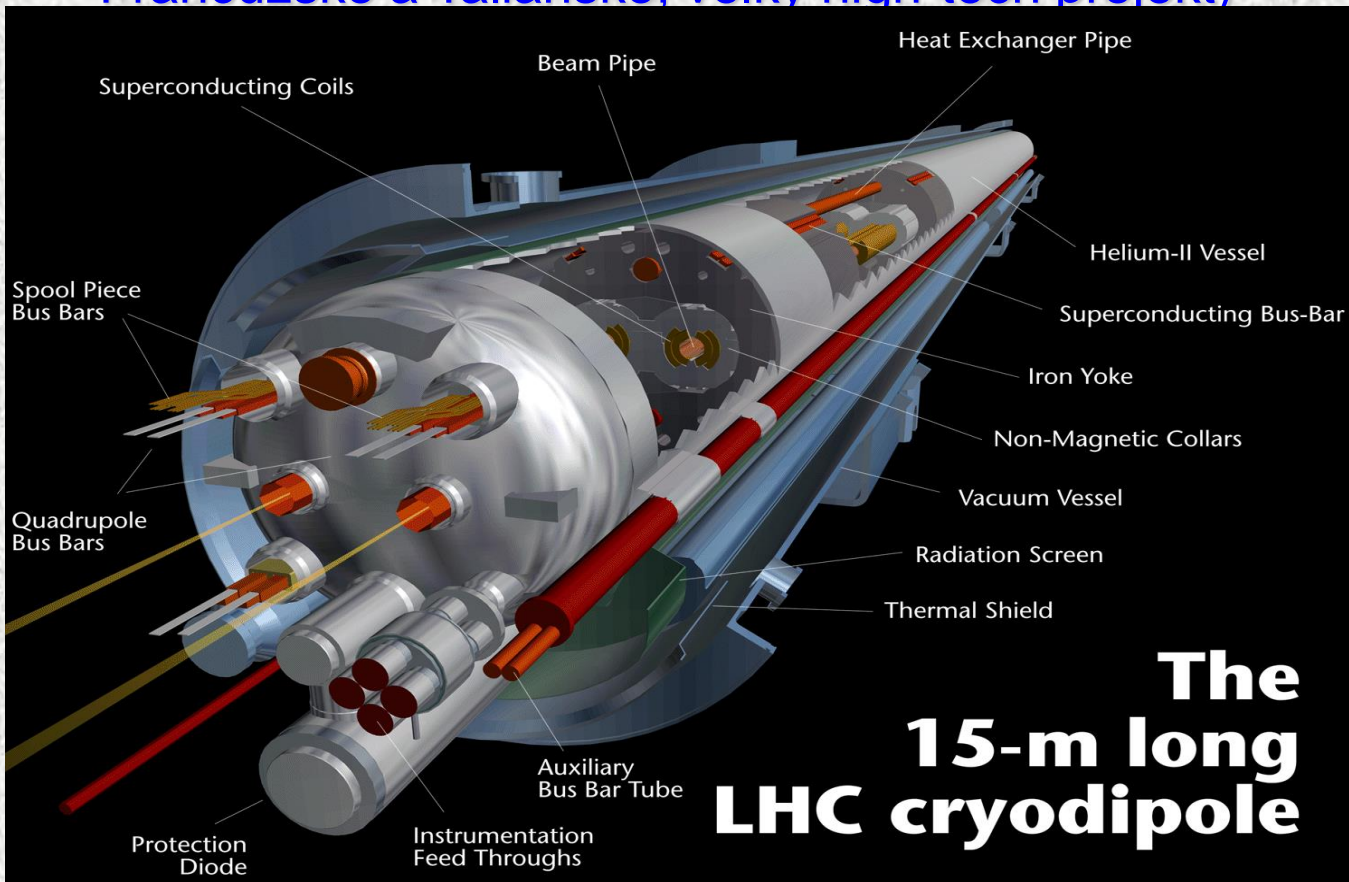
Menší polomer, menší počet častíc v urýchlovači, menší urýchlovač



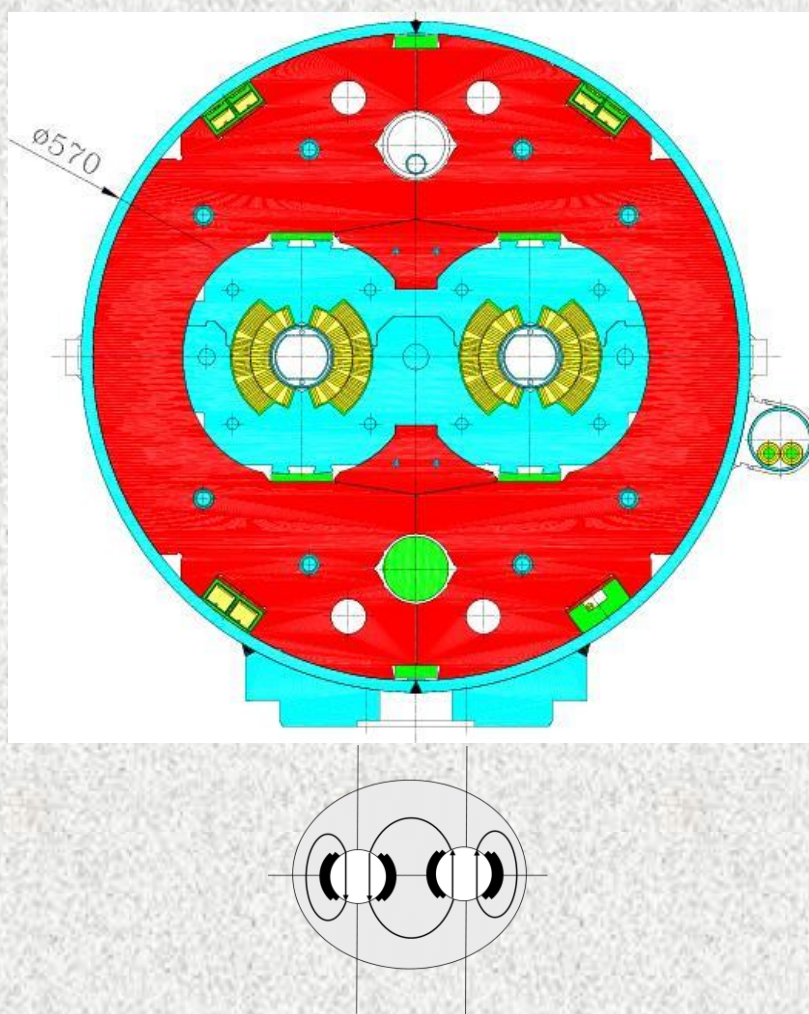
Šetrenie energiou, ALE veľmi komplexná infraštruktúra

# Supravodivý dipól pre LHC

LHC dipóly (1232 + rezerva) vyrobené in 3 firmami (Nemecko, Francúzsko a Taliansko, velký high-tech projekt)



# LHC Dipól



“Dva v jednom” konštrukcia

Pracovná teplota      1.9 K !  
Najchladnejšie miesto vo vesmíre...



Table 2.1: LHC beam parameters relevant for the peak luminosity

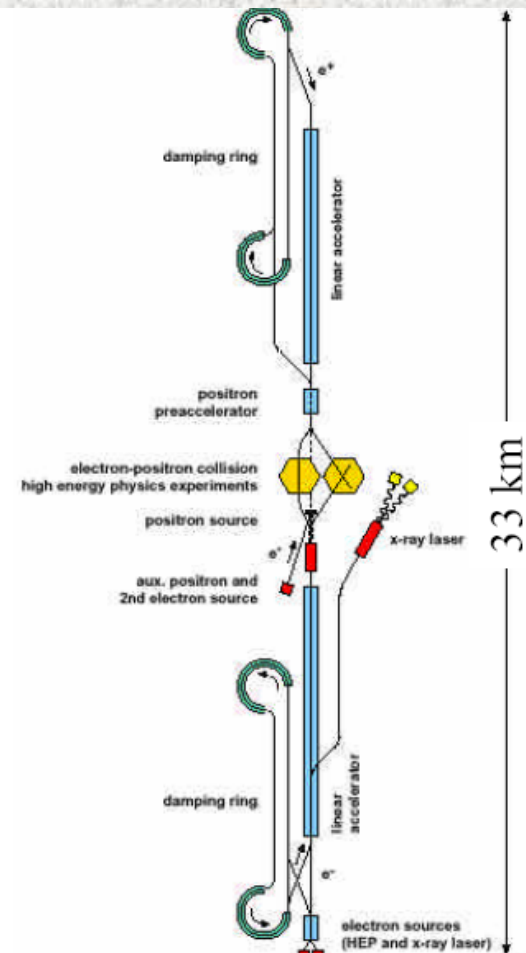
		Injection	Collision
<b>Beam Data</b>			
Proton energy	[GeV]	450	7000
Relativistic gamma		479.6	7461
Number of particles per bunch		$1.15 \times 10^{11}$	
Number of bunches		2808	
Longitudinal emittance ( $4\sigma$ )	[eVs]	1.0	2.5 <sup>a</sup>
Transverse normalized emittance	[ $\mu\text{m rad}$ ]	3.5 <sup>b</sup>	3.75
Circulating beam current	[A]	0.582	
Stored energy per beam	[MJ]	23.3	362
<b>Peak Luminosity Related Data</b>			
RMS bunch length <sup>c</sup>	cm	11.24	7.55
RMS beam size at the IP1 and IP5 <sup>d</sup>	$\mu\text{m}$	375.2	16.7
RMS beam size at the IP2 and IP8 <sup>e</sup>	$\mu\text{m}$	279.6	70.9
Geometric luminosity reduction factor F <sup>f</sup>		-	0.836
Peak luminosity in IP1 and IP5	[ $\text{cm}^{-2}\text{sec}^{-1}$ ]	-	$1.0 \times 10^{34}$
Peak luminosity per bunch crossing in IP1 and IP5	[ $\text{cm}^{-2}\text{sec}^{-1}$ ]	-	$3.56 \times 10^{30}$

Table 2.2: LHC beam parameters relevant for the luminosity lifetime

		Injection	Collision
<b>Interaction data</b>			
Inelastic cross section	[mb]	60.0	
Total cross section	[mb]	100.0	
Events per bunch crossing		-	19.02
Beam current lifetime (due to beam-beam)	[h]	-	44.86
<b>Intra Beam Scattering</b>			
RMS beam size in arc	[mm]	1.19	0.3
RMS energy spread $\delta E/E_0$	[ $10^{-4}$ ]	3.06	1.129
RMS bunch length	[cm]	11.24	7.55
Longitudinal emittance growth time	[hours]	30 <sup>a</sup>	61
Horizontal emittance growth time	[hours]	38 <sup>a</sup>	80
<b>Total beam and luminosity lifetimes<sup>b</sup></b>			
Luminosity lifetime (due to beam-beam)	[hours]	-	29.1
Beam lifetime (due to rest-gas scattering) <sup>c</sup>	[hours]	100	100
Beam current lifetime (beam-beam, rest-gas)	[hours]	-	18.4
Luminosity lifetime (beam-beam, rest-gas, IBS)	[hours]	-	14.9
<b>Synchrotron Radiation</b>			
Instantaneous power loss per proton	[W]	$3.15 \times 10^{-16}$	$1.84 \times 10^{-11}$
Power loss per m in main bends	[Wm <sup>-1</sup> ]	0.0	0.206
Synchrotron radiation power per ring	[W]	$6.15 \times 10^{-2}$	$3.6 \times 10^3$
Energy loss per turn	[eV]	$1.15 \times 10^{-1}$	$6.71 \times 10^3$
Critical photon energy	[eV]	0.01	44.14
Longitudinal emittance damping time	[hours]	48489.1	13
Transverse emittance damping time	[hours]	48489.1	26

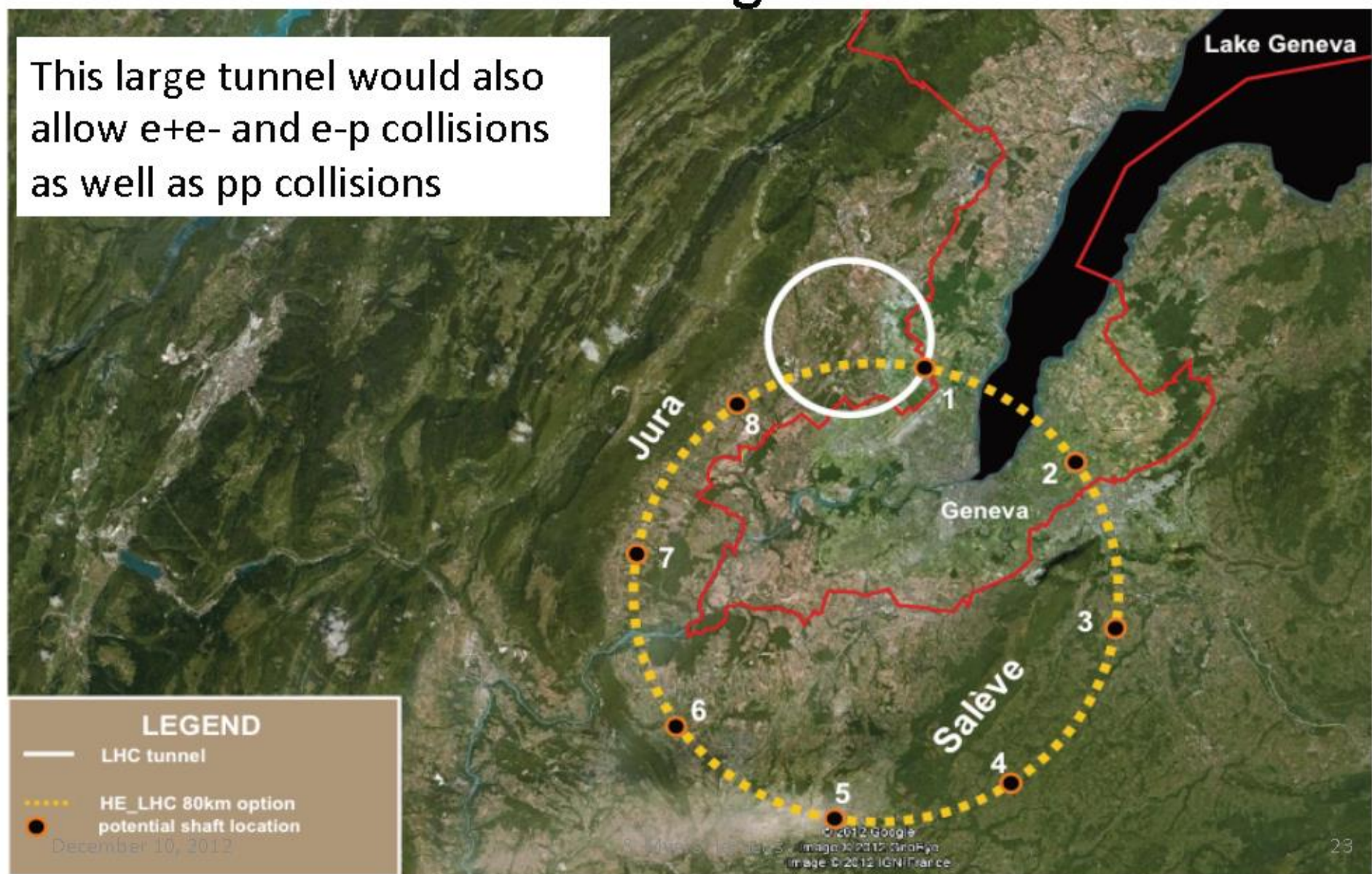
# Budúce urýchlovače

- two projects presently under study:
- ILC (International Linear Collider)
  - Technology decision Aug 2004
  - Superconducting technology
  - 1.3 GHz RF frequency
  - $\sim 31 \text{ MV/m}$  accelerating gradient
  - 500 GeV centre-of-mass energy
  - upgrade to 1 TeV possible
- CLIC (Compact Linear Collider)
  - normalconducting technology
  - multi-TeV energy range (1-5 TeV)



# Thinking BIG

This large tunnel would also allow e+e- and e-p collisions as well as pp collisions

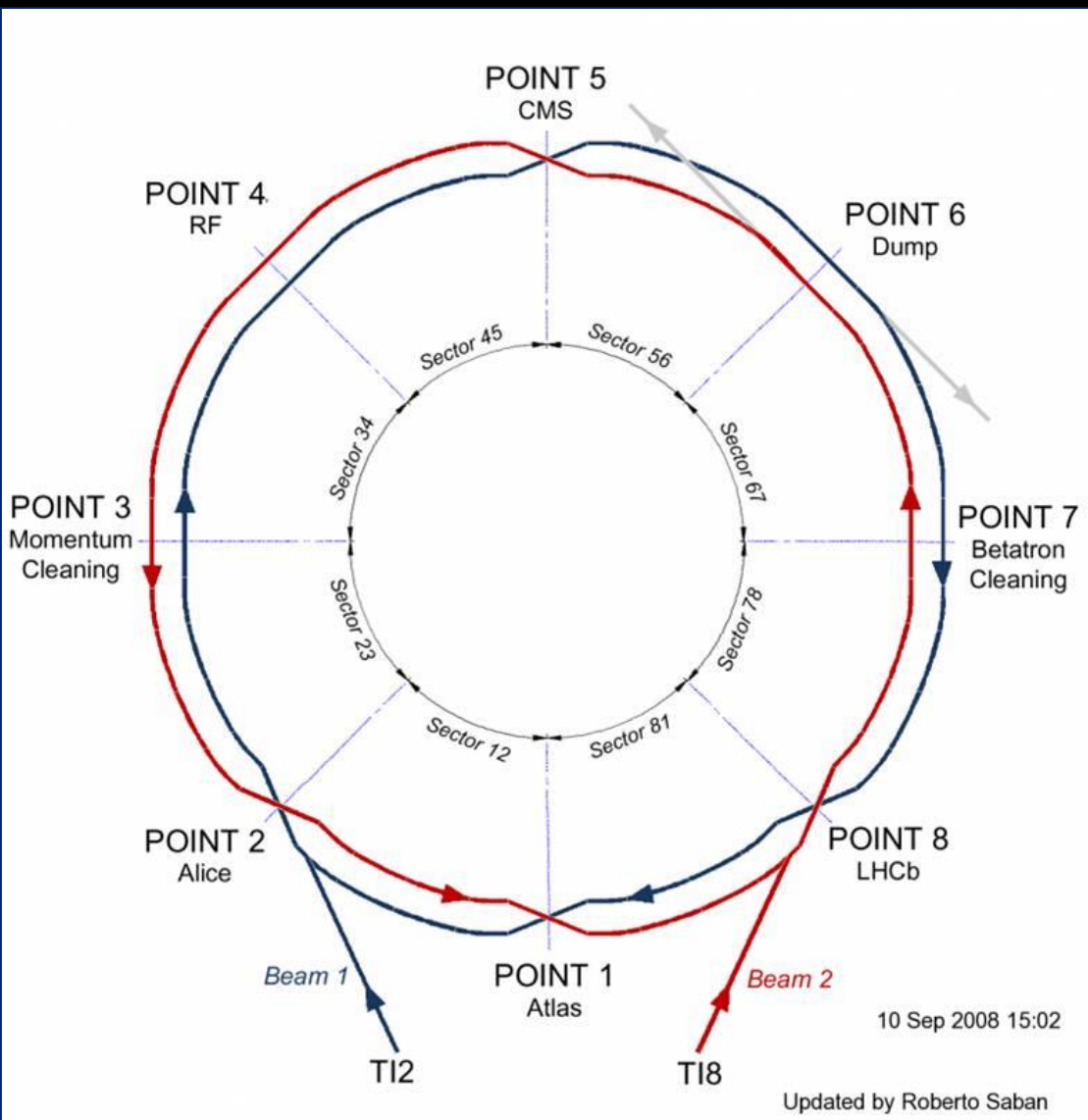




# Čo sa stalo s LHC?



# Castice v LHC



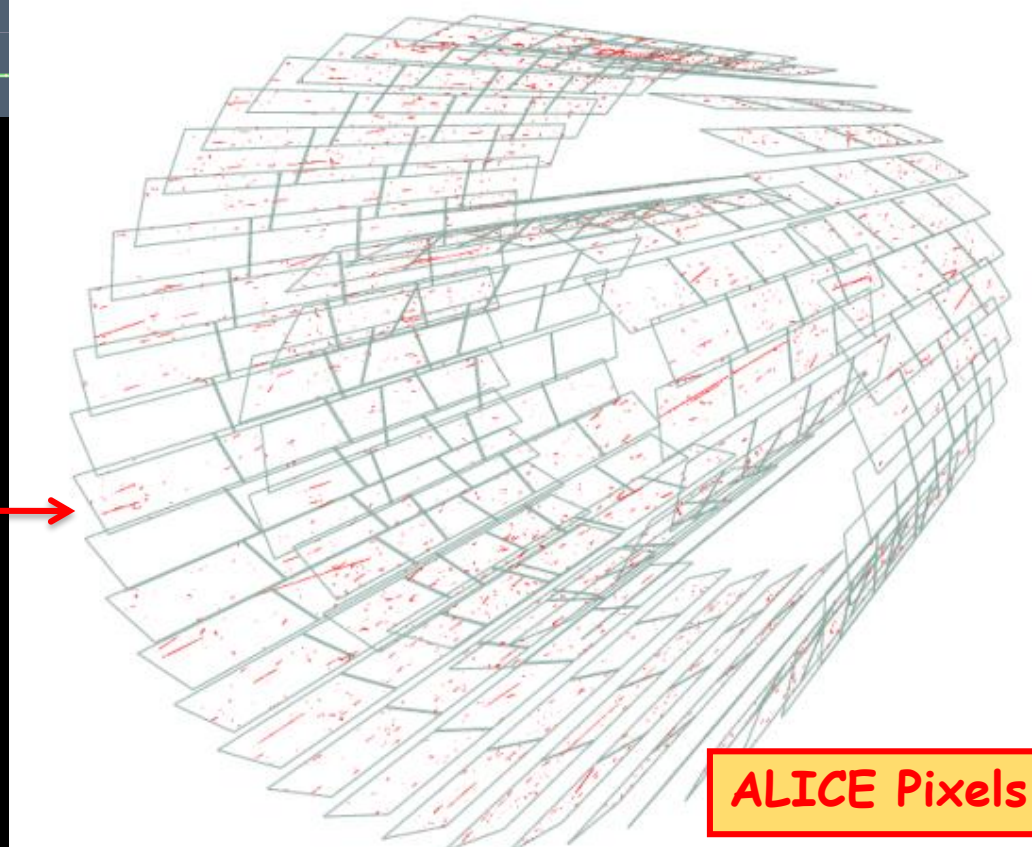
- first signs of life...
  - 14-15 June
  - extraction in TI2 and dump
- injection tests
  - 1) 8-11 August
    - first injection in LHC (beam 1)
  - 2) 22-24 August
    - first injection of beam 2
  - 3) 5-7 September
- circulating beams
  - 10 September

# Extraction tests: 14-15 June

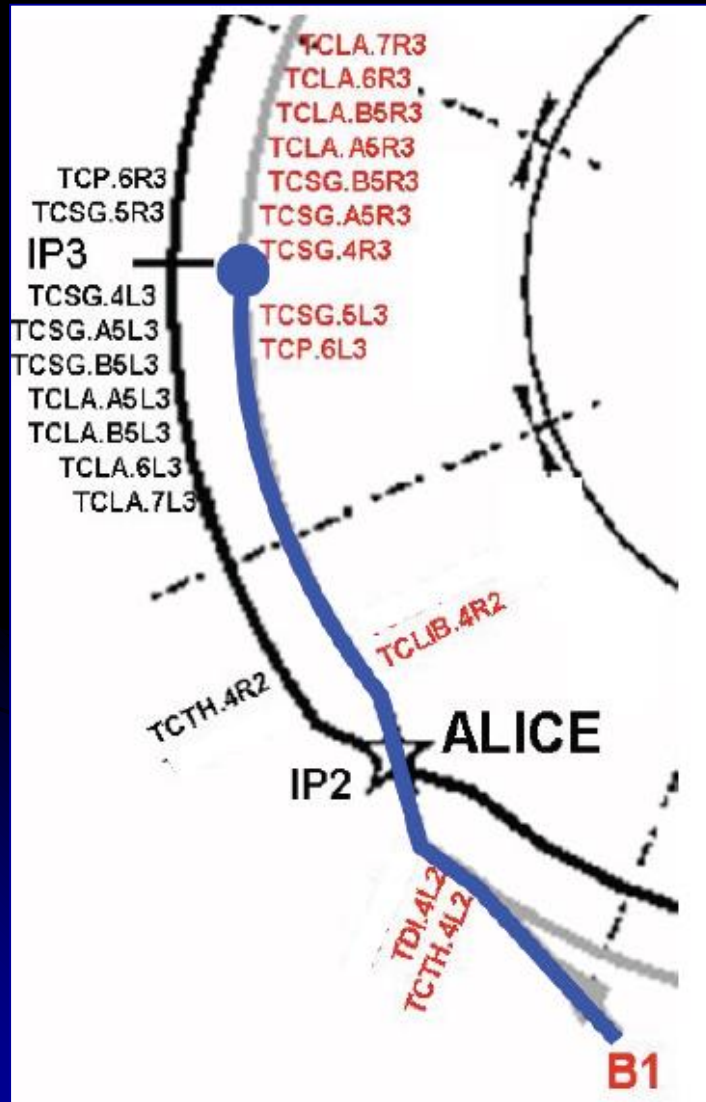


Federico Antinori, SQM2008

- beam extracted from the SPS and dumped in the transfer line
- muons make it all the way →



# 08.08.08: First Injection in LHC!

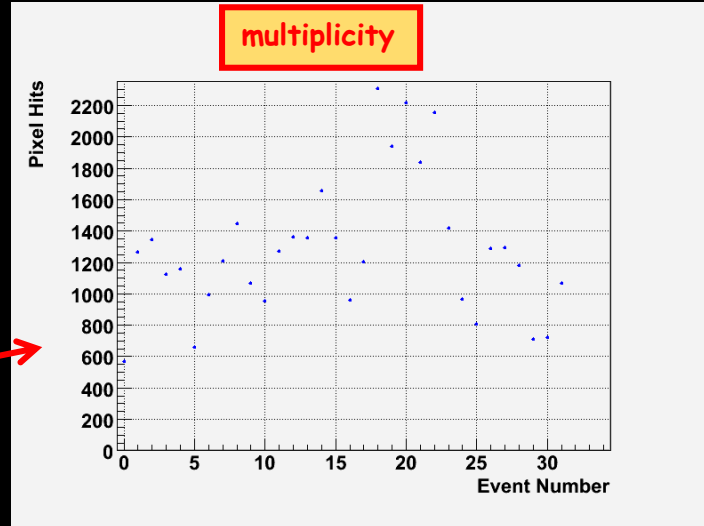


同一个世界 同一个梦想  
One World One Dream

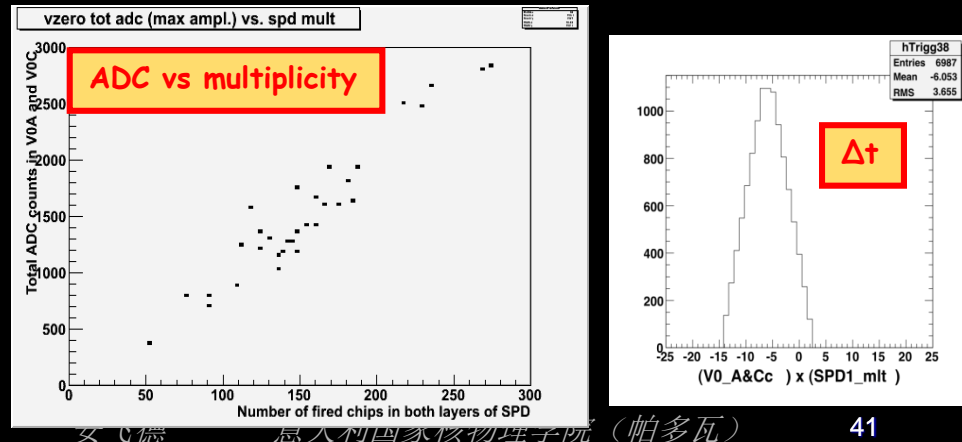
# First injection in the LHC!

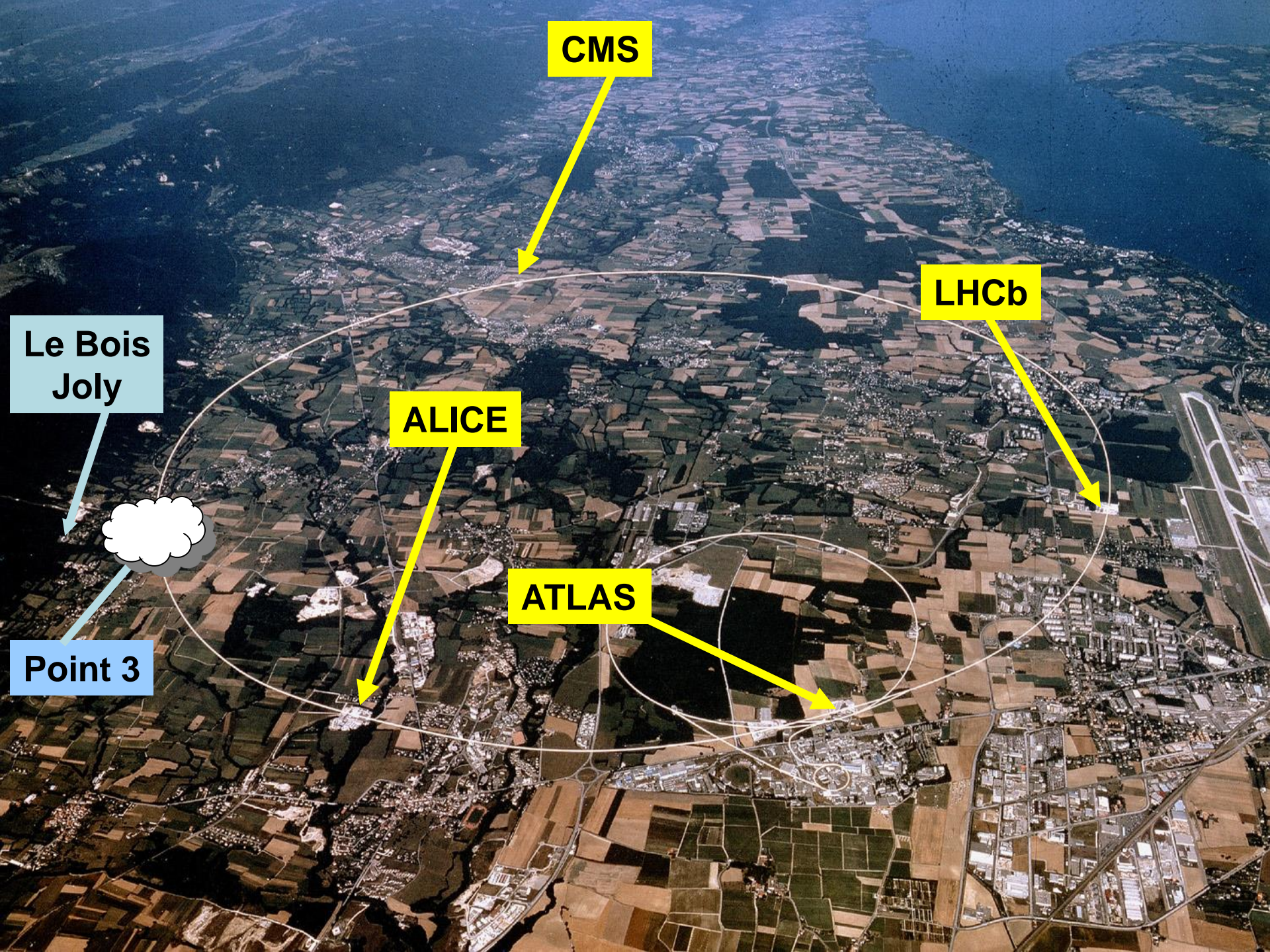
- 8 August 2008
- ALICE SPD (pixel) and V0 (scintillator) switched on during first phase (upstream dump)
  - pilot bunches:  $\sim 5 \cdot 10^9$  protons
- Trigger:  $\geq 10$  hits on layer 2
- 32 events triggered
  - Run 51403 (16:53 to 18:05)

- SPD



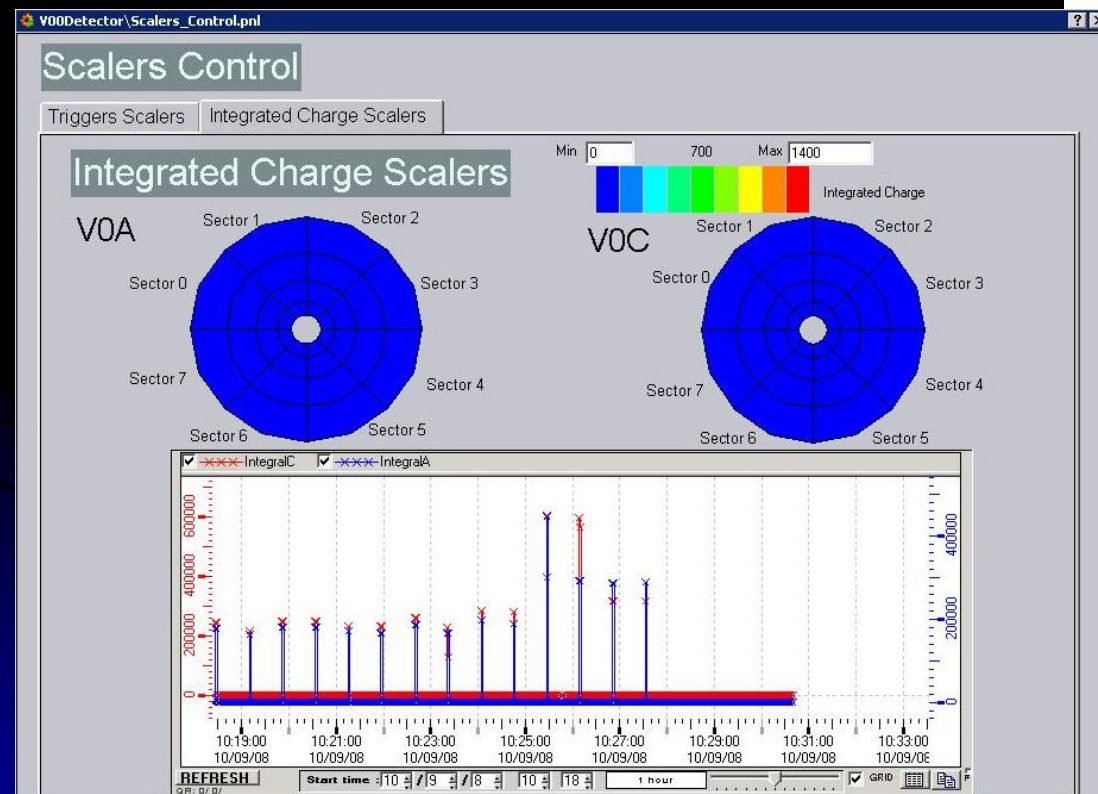
- V0 vs SPD



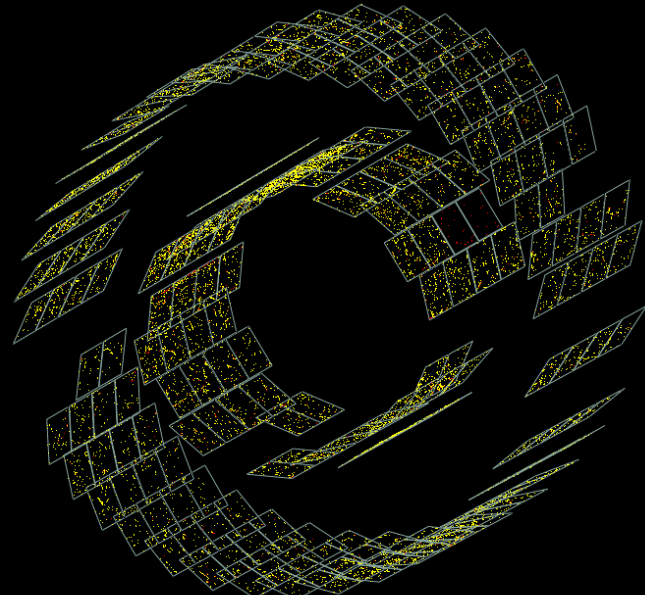


# 10 September: circulating beams!

- beam 1: 1<sup>st</sup> complete orbit ~ 10:30



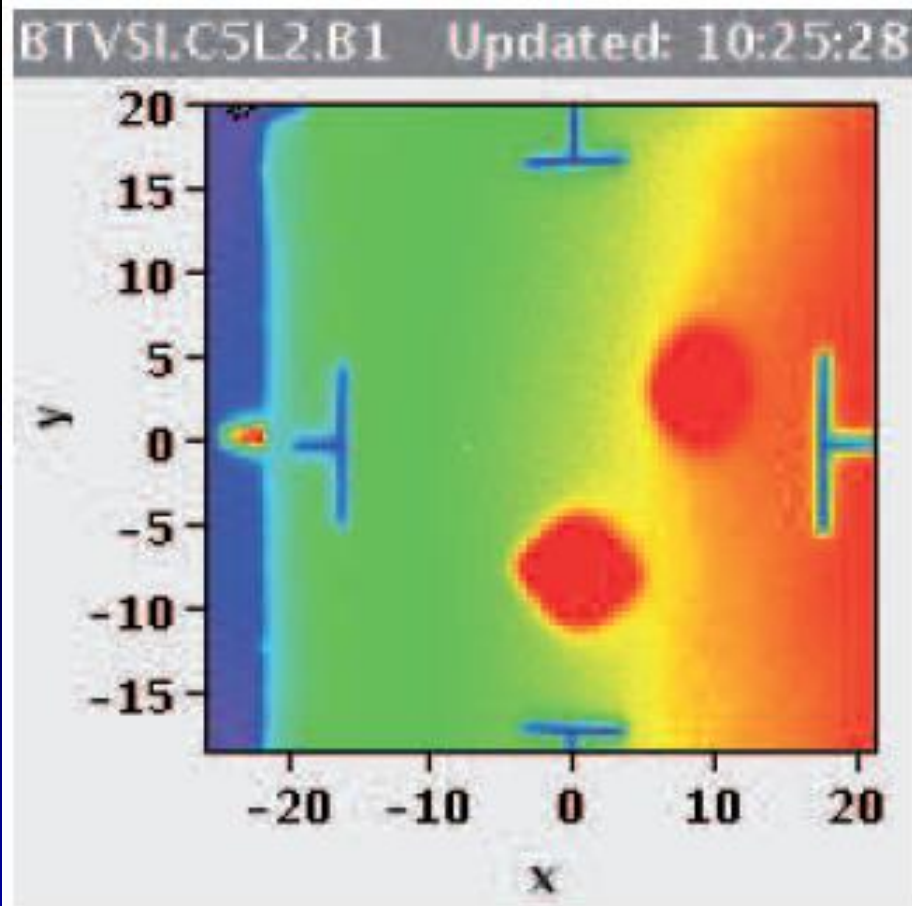
- first signals from ALICE



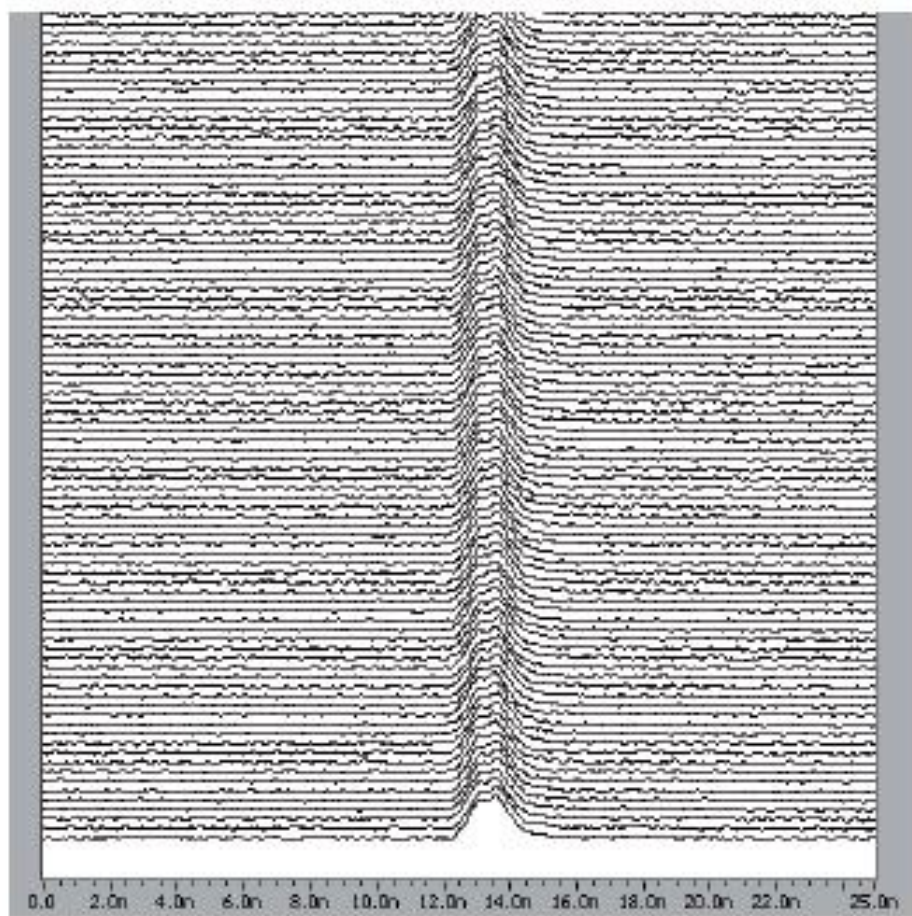
- beam 2: 1<sup>st</sup> complete orbit ~ 15:00

# LHC operation 10 - 11 September

First orbit

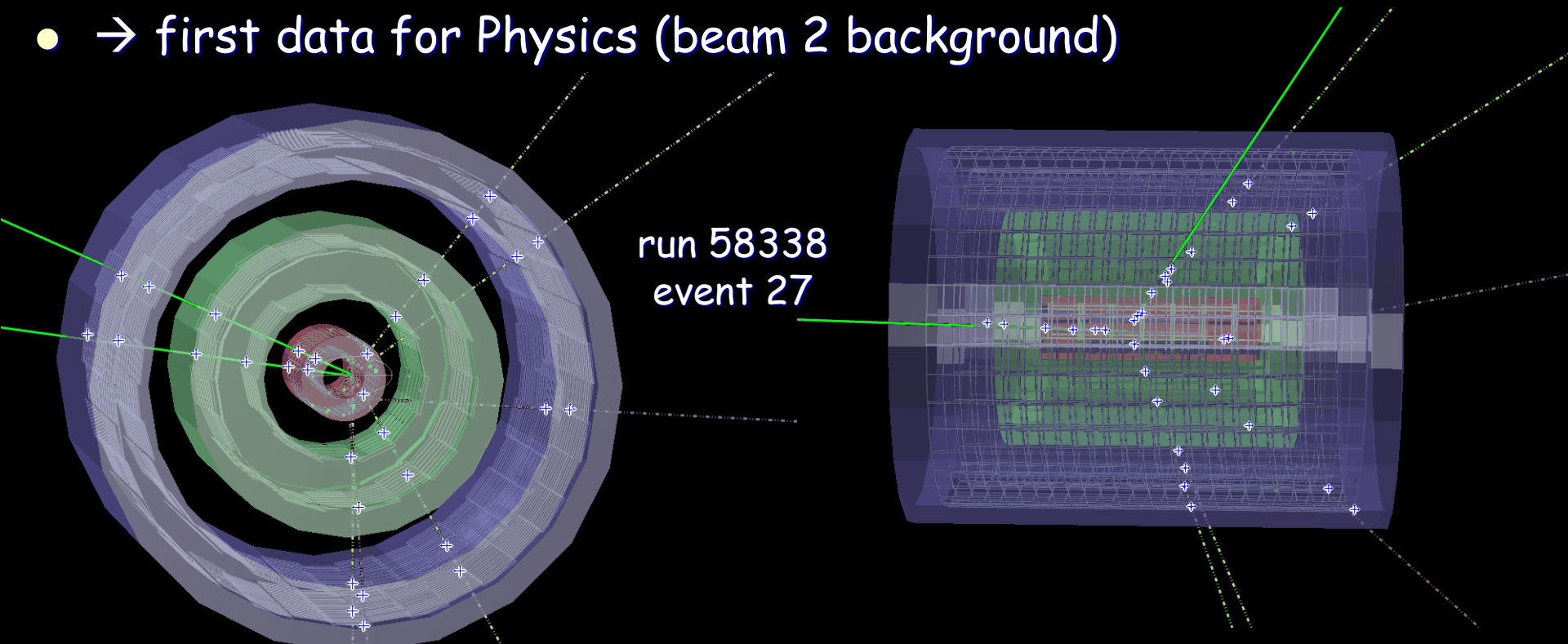


RF capture



# 11 September: RF capture (Physics data!)

- 11 September, ~ 22:35 first capture
  - beam 2 kept in orbit for over 10 minutes!
- series of injections with tens of mins RF capture during night
  - in ALICE: 673 events in total
- → first data for Physics (beam 2 background)



# First circulating beam: background rates

Sept 11<sup>th</sup> beam had circulated more than 6 million times !!!

A.Kisiel

## Background rate

Run 58338: First event: 21:47:39,  
last event: 21:53:09 – total 920 sec.

Total 235 events. Rate: 0.2554 Hz

$11 \cdot 10^{-3}$  orbits/sec. Rate:  $2.3 \cdot 10^{-5}$ /orbit

Intensity:  $2 \cdot 10^9$  p. Rate:  $1.15 \cdot 10^{-4}$ /orbit  $10^9$  p

Estimate for  $10^{10}$  p intensity  
and two beams:  $2.3 \cdot 10^{-4}$ /orbit

## Event rate

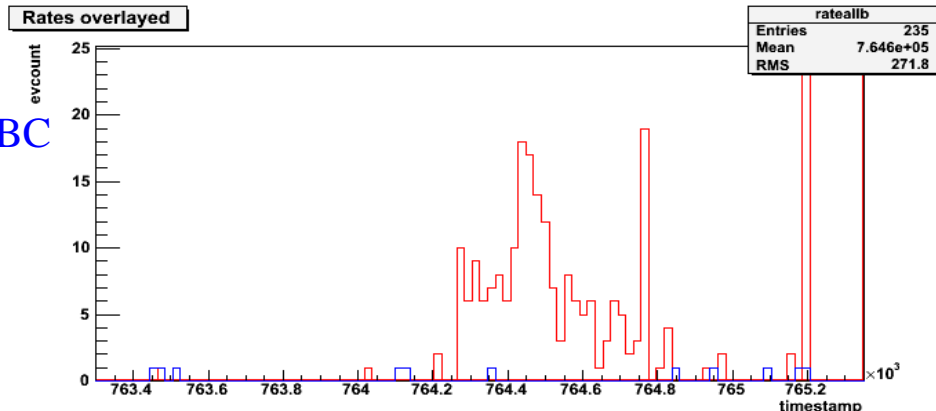
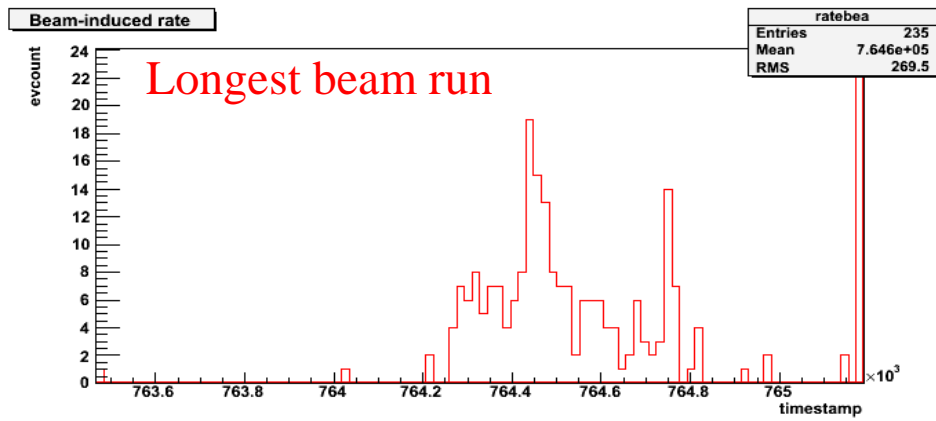
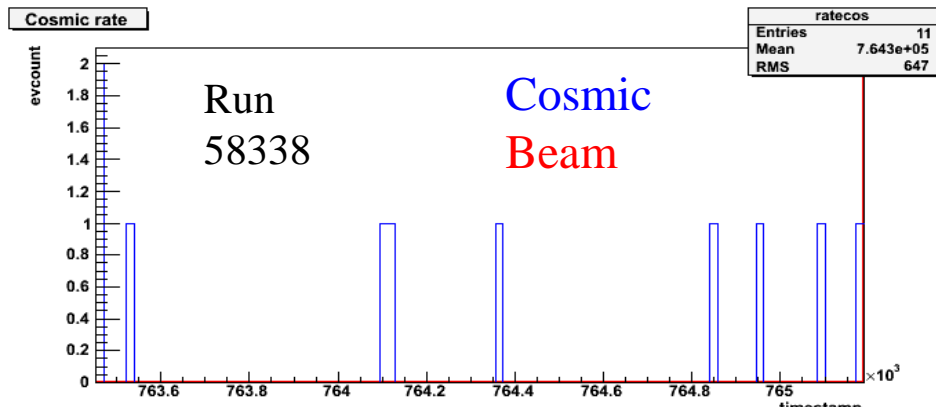
At 450 GeV  $\beta^*=10$  m, transverse size 270  $\mu\text{m}$

At beam intensity  $N_p=2 \cdot 10^9$ , luminosity is

$L_b=5 \cdot 10^{25} \text{ cm}^{-2}\text{s}^{-1}$ , interaction probability:  $I_b=3 \cdot 10^{-5}/\text{BC}$

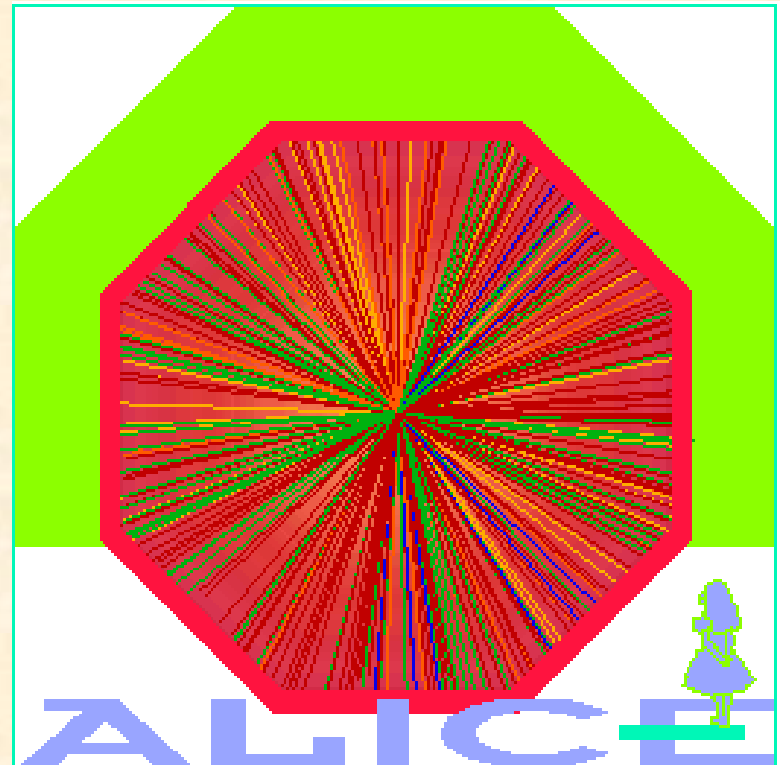
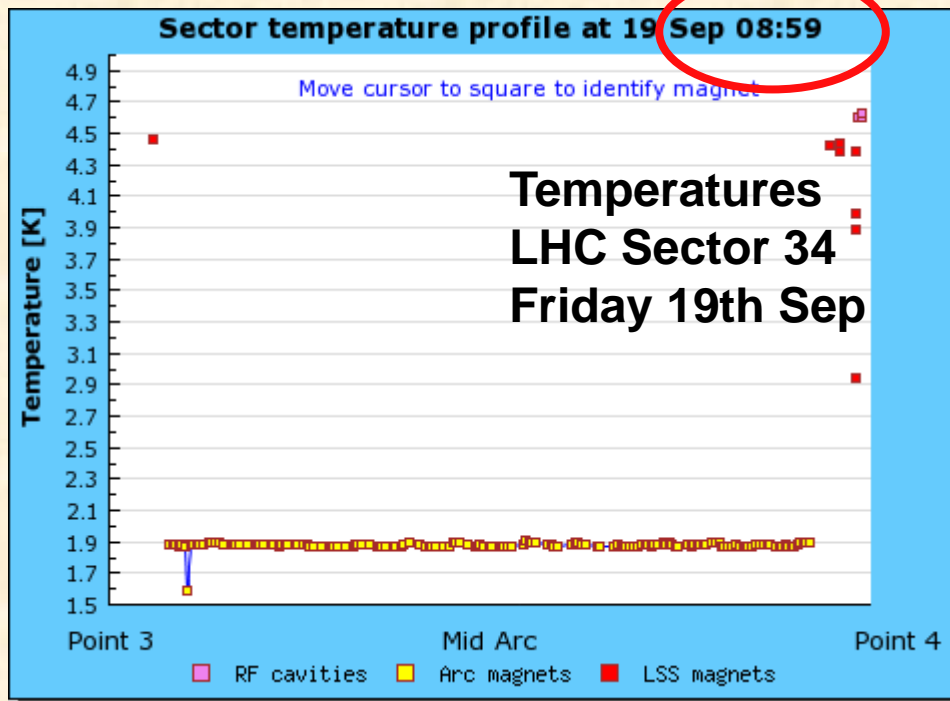
At  $N_p=5 \cdot 10^{10}$  probability is  $I_b=1.875 \cdot 10^{-2}/\text{BC}$

compared to the background rate  
estimate of  $0.115 \cdot 10^{-2}/\text{orbit}$ .



# Fate of Physics at LHC

● ...and we were 5' from it...



Jan Fiete Grosse-Oetringhaus

# So: what happened on 19 Sept?

- 19 September, ~ 11:30: large helium leak in sector 34
  - helium escaped in the tunnel
  - insulation vacuum broken
  - beam vacuum broken (up to sector valves)
- confirmed: due to electrical fault
  - resistive splice in interconnect
- magnets in sector 34 were being commissioned to 5 TeV (10kA)
  - at 450 GeV (1kA) worked well
  - incident occurred at ~9kA
  - all other (7) sectors had been commissioned to 5 TeV (and above) without problems

# When will beam resume?

- clear that recovery of sector 34 will take during the winter shutdown
- LHC operations are planned to restart in fall of 2009
  - precise planning being worked out
- "Chamonix meeting"
  - looking into different scenarios
  - one possibility is running over winter, till autumn 2010, and at the end a "standard HI run"
- ALICE now in shutdown mode
  - repairs
  - improvements
  - additional installations
  - ...